

IDŹ DO

PRZYKŁADOWY ROZDZIAŁ



SPIS TREŚCI

KATALOG KSIĄŻEK

KATALOG ONLINE

ZAMÓW DRUKOWANY KATALOG

TWÓJ KOSZYK

DODAJ DO KOSZYKA

CENNIK I INFORMACJE

ZAMÓW INFORMACJE
O NOWOŚCIACH

ZAMÓW CENNIK

CZYTELNIA

FRAGMENTY KSIĄŻEK ONLINE

Algorytmy w Perlu

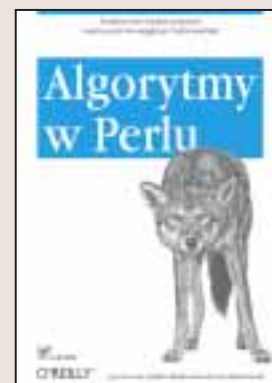
Autorzy: Jon Orwant, Jarkko Hietaniemi, John Macdonald

Tłumaczenie: Sławomir Dzieniszewski, Marcin Jędrusiak

ISBN: 83-7197-913-4

Tytuł oryginału: [Mastering Algorithms with Perl](#)

Format: B5, stron: 680



Wielu programistów poszukuje książki, która przedstawiłaby implementacje znanych algorytmów w Perlu. Niestety w podręcznikach do tego języka trudno znaleźć informacje na ten temat. Informatycy opracowali wiele technik związanych z często spotykanymi problemami, takimi jak:

- Przybliżone dopasowywanie tekstów (uwzględniające literówki)
- Znajdowanie korelacji w zbiorach danych
- Algorytmy związane z gramami
- Przewidywanie zjawisk (np. obciążenia serwera WWW)
- Dopasowywanie wielomianowe i za pomocą funkcji sklejaných
- Szyfrowanie informacji

Dzięki algorytmom przedstawionym w niniejszej książce będziesz mógł poradzić sobie z tymi problemami używając wydajnego i łatwego do nauczenia się języka, jakim jest Perl.

Autorzy zakładają, że opanowałeś już składnię Perla i znasz jego podstawowe funkcje. Książka „Algorytmy w Perlu” przystępnie objaśni Ci, kiedy używać klasycznych technik programistycznych i w jakich rodzajach aplikacji znajdują one swoje zastosowanie, a przede wszystkim pokaże Ci, jak je implementować w Perlu.

Jeśli jesteś początkującym programistą, poznasz najważniejsze algorytmy, które pozwolą Ci rozwiązywać problemy programistyczne w sposób profesjonalny. Nawet jeśli znasz już podstawy algorytmiki, będziesz zapewne zaskoczony z jaką łatwością można je zastosować w Perlu. W książce znajdziesz nawet obowiązkowy program rysujący fraktale.

Jest to pierwsza książka spośród licznych pozycji poświęconych algorytmom, która demonstruje ich użycie za pomocą Perla.

Autorami są m.in. Jon Orwant, redaktor The Perl Journal i Jarkko Hietaniemi – zarządzający biblioteką modułów CPAN. Wszyscy autorzy są stałymi współpracownikami CPAN, stąd wiele z przytoczonych tu fragmentów kodu możesz znaleźć w tej bibliotece.

„Poświęciłem lekturze wiele czasu przeznaczonego na sen – tak ekscytująca jest ta książka” – Tom Christiansen



Spis treści

<i>Przedmowa</i>	7
Rozdział 1. Wprowadzenie	15
Czym jest algorytm?.....	15
Efektywność.....	23
Rekurencyjnie powracające problemy w nauce o algorytmach	35
Rozdział 2. Podstawowe struktury danych	39
Standardowe struktury danych Perla.....	40
Budowanie naszej własnej struktury danych.....	41
Prosty przykład	42
Tablice Perla: wiele struktur danych w jednej	52
Rozdział 3. Zaawansowane struktury danych	61
Listy powiązane	62
Zapętłone listy powiązane	73
Oczyszczanie pamięci w Perlu	76
Listy dwustronnie powiązane	79
Listy nieskończone	85
Koszt trawersowania	86
Drzewa binarne	86
Sterty	103
Sterty binarne	105
Sterta Janusowa	112
Moduły CPAN dla stert	112
Moduły CPAN, które pojawiają się wkrótce	114

Rozdział 4. Sortowanie	115
Wprowadzenie do sortowania	115
Wszystkie sorty sortowania	132
Podsumowanie naszych rozważań na temat sortowania	164
Rozdział 5. Wyszukiwanie	171
Wyszukiwanie w tablicy asocjacyjnej i inne sposoby odszukiwania danych bez wyszukiwania	172
Wyszukiwania przeglądowe	173
Wyszukiwania generujące	191
Rozdział 6. Zbiory	219
Diagramy Venna	220
Tworzenie zbiorów	221
Suma i część wspólna zbiorów	225
Dwa rodzaje odejmowania zbiorów	233
Zliczanie elementów zbiorów	238
Wzajemne relacje zbiorów	238
Moduły CPAN związane ze zbiorami	243
Zbiory zbiorów	248
Zbiory wielowartościowe	255
Podsumowanie informacji o zbiorach	258
Rozdział 7. Macierze	259
Tworzenie macierzy	261
Manipulowanie indywidualnymi elementami macierzy	261
Ustalanie rozmiarów macierzy	262
Wyświetlanie macierzy	262
Dodawanie stałej wartości lub mnożenie przez stałą	263
Przekształcanie macierzy	269
Mnożenie macierzy	271
Wydobywanie podmacierzy	273
Łączenie macierzy	274
Transpozycja macierzy	275
Wyliczanie wyznacznika macierzy	276
Eliminacja Gaussa	277
Wartości własne i wektory własne	280
Problem mnożenia kilku macierzy	283
Dla tych, którzy chcieliby dowiedzieć się czegoś więcej	286

Rozdział 8. Grafy	287
Wierzchołki i krawędzie	289
Grafy, które można wywieść z innych grafów	295
Atrybuty grafu	300
Sposoby reprezentowania grafów w komputerach.....	301
Trawersowanie grafu	313
Ścieżki i mosty	323
Biologia grafów: drzewa, lasy, skierowane grafy acykliczne, przodkowie i dzieci.....	325
Klasy krawędzi i grafów	329
Moduły CPAN dla grafów	362
Rozdział 9. Łańcuchy	363
Narzędzia wbudowane w Perla	364
Algorytmy poszukujące wzorca w łańcuchu tekstu.....	368
Algorytmy fonetyczne	398
Odnajdywanie rdzenia wyrazu i problem odmiany wyrazów	400
Analiza składniowa	404
Kompresja danych	422
Rozdział 10. Algorytmy geometryczne	435
Odległość.....	436
Pole, obwód i objętość.....	439
Kierunek	443
Przecięcie.....	444
Zawieranie punktów i wielokątów	452
Granice	458
Najbliższa para punktów	464
Algorytmy geometryczne — podsumowanie	471
Moduły graficzne CPAN	471
Rozdział 11. Systemy liczbowe	475
Liczby całkowite i rzeczywiste	475
Inne systemy liczbowe	486
Trygonometria	496
Ciągi i szeregi	497
Rozdział 12. Teoria liczb	503
Podstawy teorii liczb	503
Liczby pierwsze	508
Nierozwiązane problemy	525

Rozdział 13. Kryptografia	529
Kwestie prawne	530
Autoryzacja użytkowników za pomocą haseł	530
Autoryzacja danych — sumy kontrolne i inne metody	536
Ochrona danych — szyfrowanie	540
Ukrywanie danych — steganografia	556
Odsiewanie i wprowadzanie zakłóceń	558
Zaszyfrowany kod Perla	562
Pozostałe kwestie	564
Rozdział 14. Prawdopodobieństwo	565
Liczby losowe	566
Zdarzenia	568
Permutacje i kombinacje	570
Rozkłady prawdopodobieństwa	573
Rzut kostką — rozkład równomierny	575
Nieciągłe rozkłady nierównomierne	580
Prawdopodobieństwo warunkowe	587
Nieskończone rozkłady nieciągłe	588
Rozkłady ciągłe	589
Inne rodzaje rozkładów prawdopodobieństwa	590
Rozdział 15. Statystyka.....	595
Parametry statystyczne	596
Testy istotności	604
Korelacja	615
Rozdział 16. Analiza numeryczna	621
Obliczanie pochodnych i całek	622
Rozwiązywanie równań	629
Interpolacja, ekstrapolacja i dopasowywanie krzywej	636
Dodatek A Bibliografia.....	643
Dodatek B Zestaw znaków ASCII	647
Skorowidz	651

10

Algorytmy geometryczne

Ne misce moich kot!

— Archimedes (287 – 212 p.n.e.)

Geometria nie wymaga wprowadzenia. Jest to najbardziej wizualna dziedzina matematyki, dzięki której możliwe jest wyświetlanie obrazu na ekranie monitora. Ten rozdział przedstawia algorytmy pozwalające na wykonanie poniższych zadań:

Tworzenie grafiki zawierającej hiperodnośniki (mapy obrazu)

W jaki sposób można sprawdzić, czy użytkownik kliknął myszą w obszarze o dziwnych kształtach? Szczegóły można odnaleźć w podrozdziale „Zawieranie punktów i wielokątów”.

Nakładanie okien

Jak można otworzyć nowe okno, aby w minimalnym stopniu zasłaniało już istniejące okna? Zobacz podrozdział „Granice”.

Kartografia

W jaki sposób można oznaczyć obszar ograniczający grupę rozszanych punktów? Zobacz podrozdział „Granice”.

Symulacje

Które z 10 000 punktów znajdują się najbliżej siebie, co oznacza niebezpieczeństwo zderzenia? Odpowiedź znajduje się w podrozdziale „Najbliższa para punktów”.

W tym rozdziale przedstawiane są różne wzory i algorytmy geometryczne. Znajdujące się tu przykłady stanowią tylko komponenty, które powinny być ulepszone przez Ciebie, Czytelniku, gdyż nie jesteśmy w stanie przewidzieć wszystkich przykładów ich zastosowania. Większość programów została ograniczona do pracy tylko w dwóch wymiarach. Nie są tu również poruszane zaawansowane zagadnienia, które można znaleźć w książkach poświęconych grafice komputerowej, takie jak śledzenie promieni (ang. *ray tracing*), oświetlanie sceny, animacja lub mapowanie tekstur. Jedynym wyjątkiem są tu krzywe złożone,

które zostały omówione w rozdziale 16. poświęconym analizie numerycznej. Zalecana literatura poświęcona grafice to m.in. książka „Computer Graphics: Principles and Practice” (autorstwa Foleya, van Dama, Feinera i Hughesa) oraz seria książek „Graphics Gems”. Pod koniec rozdziału znajdują się informacje dotyczące obsługi okien, tworzenia grafiki biznesowej, języka OpenGL (język grafiki trójwymiarowej) oraz języka VRML (Virtual Reality Markup Language).

Prawie wszystkie procedury z tego rozdziału akceptują współrzędne przekazywane jako płaskie listy liczb. Aby możliwe było utworzenie interfejsu do już istniejących programów, może wystąpić konieczność dokonania modyfikacji tych procedur, dzięki czemu możliwe będzie przekazywanie punktów, prostych i wielokątów poprzez tablice lub tablice asocjacyjne. Ta metoda będzie także szybsza w przypadku dużej ilości danych. Więcej informacji na ten temat można znaleźć w rozdziale 1.

Należy pamiętać o pewnej bardzo istotnej kwestii. Wiele problemów geometrycznych ma specjalne przypadki, które wymagają zwrócenia dodatkowej uwagi. Wiele algorytmów nie działa poprawnie dla wklęsłych obiektów, przez co przed użyciem algorytmu należy podzielić takie obiekty na mniejsze, wypukłe fragmenty. Skomplikowane obiekty, takie jak drzewa, ludzie oraz potwory z filmów SF, są zwykle reprezentowane w postaci wielokątów (najczęściej trójkątów lub czterościanów, jeśli są to obiekty trójwymiarowe). Zderzenia takich obiektów są sprawdzane przy użyciu *powłok wypukłych prostopadłościaków ograniczających*. Więcej informacji na ten temat można znaleźć w dalszej części rozdziału.

Odległość

Jedną z podstawowych koncepcji geometrycznych jest *odległość* między dwoma obiektami.

Odległość euklidesowa

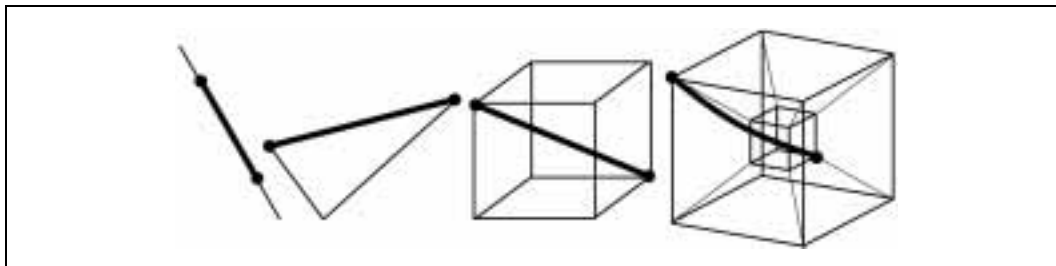
Istnieje wiele sposobów definiowania odległości między dwoma punktami, ale najczęściej używaną i najbardziej intuicyjną definicją jest *odległość euklidesowa*, czyli odległość w linii prostej¹. Aby uzyskać tę odległość, należy obliczyć różnice w położeniu dla każdej osi, zsumować kwadraty różnic i obliczyć pierwiastek kwadratowy tej sumy. W przypadku dwóch wymiarów sprowadza się to do znajomego *twierdzenia Pitagorasa*²:

$$d = \sqrt{(x_1 - x_0)^2 + (y_1 - y_0)^2}$$

Rysunek 10.1 przedstawia odległość euklidesową dla różnej liczby wymiarów. Ostatnie dwa przykłady są jedynie projekcją trzech i czterech wymiarów na kartkę papieru.

¹ Euklides — ok. 370 p.n.e.

² Pitagoras — 750 – 490 p.n.e.



Rysunek 10.1. Odległość euklidesowa w jednym, dwóch, trzech i czterech wymiarach

Przedstawiona poniżej procedura służy do obliczania odległości euklidesowej w dowolnej liczbie wymiarów.

```
# Procedura odleglosc( @p ) oblicza odleglosc euklidesowa pomiedzy dwoma
# punktami o d wymiarow, dla ktorych istnieje 2 * d wspolrzecznych.
# Dla przykladu, para punktow trojwymiarowych powinna byc przekazana do tej
# procedury jako ( $x0, $y0, $z0, $x1, $y1, $z1 ).

sub odleglosc {
    my @p = @_;          # Wspolrzeczne punktow.
    my $d = @p / 2;     # Liczba wymiarow.

    # Procedura zostala zoptymalizowana dla przypadku z dwoma wymiarami.
    return sqrt( ($_[0] - $_[2])**2 + ($_[1] - $_[3])**2 )
        if $d == 2;

    my $$ = 0;          # Suma kwadratow.
    my @p0 = splice @p, 0, $d; # Uzyskanie punktu startowego.

    for ( my $i = 0; $i < $d; $i++ ) {
        my $di = $p0[ $i ] - $p[ $i ]; # Roznica...
        $$ += $di * $di;              # ...podniesiona do kwadratu i zsumowana.
    }

    return sqrt( $$ );
}
}
```

Odległość euklidesowa pomiędzy punktami (3, 4) i (10, 12) może być obliczona w następujący sposób:

```
print odleglosc( 3,4, 10,12 );
10.6301458127346
```

Odległość Manhattan

Kolejną miarą odległości jest *odległość Manhattan*, która została przedstawiona graficznie na rysunku 10.2. Nazwa tej odległości jest związana z prostokątną siatką, zgodnie z którą ułożone są ulice w Nowym Jorku. Taksówkarze jeżdżący po tym mieście zwykle mierzą wszystko odległością Manhattan, podczas gdy piloci śmigłowców są przyzwyczajeni do odległości euklidesowej.

Odległość na powierzchni kulistej

Najkrótsza odległość na powierzchni kulistej nosi nazwę *odległości koła wielkiego*. Używanie prawidłowego wzoru stanowi dobre zadanie trygonometryczne, ale programista może po prostu skorzystać z funkcji `great_circle_distance()`, która jest dostępna w module `Math::Trig` dołączonym do Perla w wersji 5.005_03 lub nowszej. Choć ten moduł znajduje się także we wcześniejszych wersjach Perla, to nie zawiera funkcji `great_circle_distance()`. Poniżej pokazano sposób, w jaki można obliczyć przybliżoną odległość w kilometrach między Londynem (51,3° N, 0,5° W) oraz Tokio (35,7° N, 139,8° E).

```
#!/usr/bin/perl

use Math::Trig qw(great_circle_distance deg2rad);

# Proszę zauważyć odejmowanie szerokości geograficznej od 90 stopni;
# fi zero znajduje się na biegunie północnym.
@londyn = (deg2rad(- 0.5), deg2rad(90 - 51.3));
@tokio = (deg2rad( 139.8), deg2rad(90 - 35.7));

# 6378 to promień równikowy Ziemi.
print great_circle_distance(@londyn, @tokio, 6378);
```

Odległość między Londynem i Tokio wynosi:

```
9605.26637021388
```

Szerokość geograficzna jest odejmowana od 90, ponieważ funkcja `great_circle_distance()` wykorzystuje *azymutowe współrzędne sferyczne*. $\phi=0$ wskazuje kierunek z bieguna północnego, podczas gdy w innych miejscach świata jest to kierunek od równika. Z tego powodu należy odwrócić współrzędne o 90 stopni. Więcej informacji na ten temat można odnaleźć w dokumentacji modułu `Math::Trig`.

Oczywiście wynik nie jest dokładny, ponieważ Ziemia nie jest idealną kulą, a 0,1° stopnia na tych szerokościach geograficznych wynosi około 8 km.

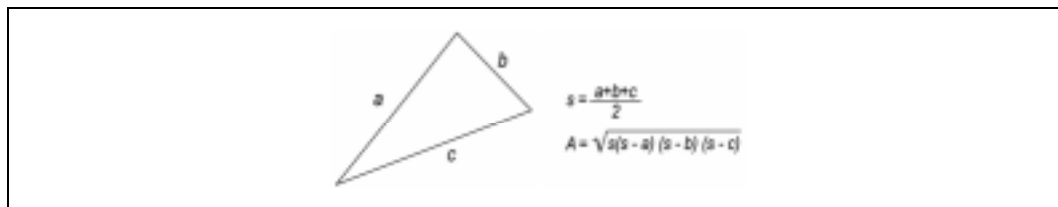
Pole, obwód i objętość

Ponieważ uzyskaliśmy już niezbędne informacje na temat odległości, możemy zająć się tematyką pola, obwodu i objętości.

Trójkąt

Pole trójkąta może być obliczone na wiele sposobów, które są zależne od dostępnych informacji. Na rysunku 10.3 przedstawiono jedną z najstarszych metod obliczania pola trójkąta, znaną jako *wzór Herona*.³

³ Heron żył w latach 65 – 120 n.e.



Rysunek 10.3. Wzór Herona pozwala na obliczenie pola trójkąta, jeśli znana jest długość jego boków

Parametrami poniższej procedury implementującej wzór Herona mogą być zarówno długości boków trójkąta, jak i jego wierzchołki. W tym drugim przypadku procedura `pole_trojkatka_heron()` obliczy długości boków z użyciem odległości euklidesowej:

```
#!/usr/bin/perl
# pole_trojkatka_heron( $dlugosc_pierwszego_boku,
#                       $dlugosc_drugiego_boku,
#                       $dlugosc_trzeciego_boku )
#   Mozliwe jest takze podanie szesciu argumentow, ktore beda trzema parami
#   wspolrzednych (x,y) rogow trojkata.
#   Procedura zwraca pole trojkata.

sub pole_trojkatka_heron {
    my ( $a, $b, $c );

    if ( @_ == 3 ) { ( $a, $b, $c ) = @_ }
    elsif ( @_ == 6 ) {
        ( $a, $b, $c ) = ( odleglosc( $_[0], $_[1], $_[2], $_[3] ),
                          odleglosc( $_[2], $_[3], $_[4], $_[5] ),
                          odleglosc( $_[4], $_[5], $_[0], $_[1] ) );
    }

    my $s = ( $a + $b + $c ) / 2;          # Parametr posredni.
    return sqrt( $s * ( $s - $a ) * ( $s - $b ) * ( $s - $c ) );
}

print pole_trojkatka_heron(3, 4, 5), " ",
      pole_trojkatka_heron( 0, 1, 1, 0, 2, 3 ), "\n";
```

Uruchomienie procedury da następujące wyniki:

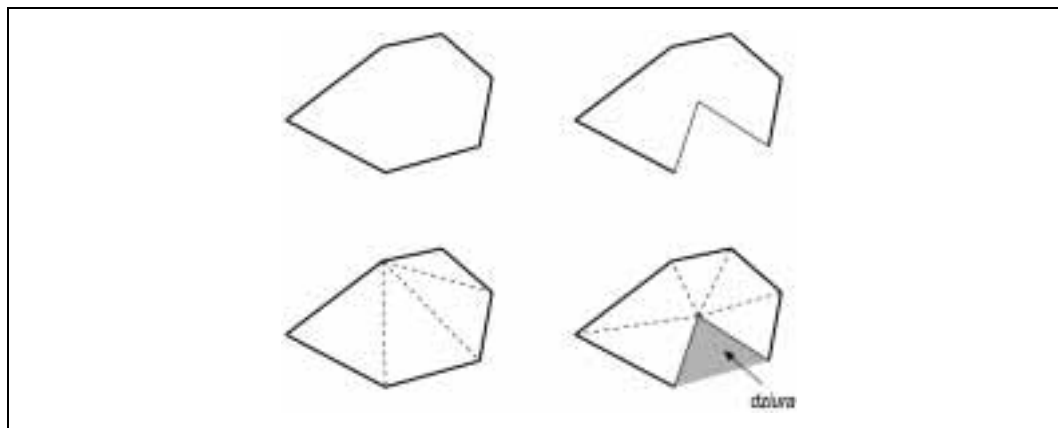
```
6 2
```

Pole wielokąta

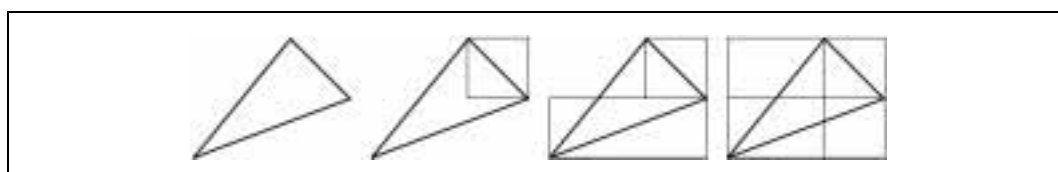
Pole wielokąta wypukłego może być obliczone poprzez podzielenie go na kilka trójkątów, a następnie zsumowanie ich pól, co pokazano na rysunku 10.4.

Sytuacja staje się bardziej skomplikowana w przypadku wielokątów wklęsłych, gdyż konieczne jest zignorowanie „dziur”. Znacznie prostszym sposobem jest użycie wyznaczników, które zostały omówione bliżej w rozdziale 7. poświęconym macierzom. Tę metodę przedstawia rysunek 10.5 oraz poniższy wzór:

$$A = \frac{1}{2} \left(\begin{vmatrix} x_0 & y_0 \\ x_1 & y_1 \end{vmatrix} + \begin{vmatrix} x_1 & y_1 \\ x_2 & y_2 \end{vmatrix} + \dots + \begin{vmatrix} x_{n-1} & y_{n-1} \\ x_0 & y_0 \end{vmatrix} \right)$$



Rysunek 10.4. Podzielone na trójkąty wielokąty wypukłe i wklęsłe



Rysunek 10.5. Wyznaczanie pól przez wyznaczniki

Każdy wyznacznik wyznacza pole prostokąta zdefiniowanego przez dwa wierzchołki wielokąta. Ponieważ każda krawędź wieloboku dzieli prostokąt na pół, to obliczone pole prostokąta należy podzielić przez 2. Nakładające się fragmenty prostokątów (prawy wielokąt na rysunku 10.5) mogą być zignorowane.

Proszę zauważyć, jak przedstawiony powyżej wzór łączy ostatni punkt — (x_{n-1}, y_{n-1}) — z pierwszym punktem — (x_0, y_0) . Jest to naturalne, ponieważ należy uwzględnić wszystkie n krawędzi wielokąta, co oznacza zsumowanie dokładnie n wyznaczników. W tym przypadku potrzebny jest wyznacznik macierzy 2×2 , co jest proste. Poniżej przedstawiono odpowiednią procedurę.

```
# wyznacznik( $x0, $y0, $x1, $y1 )
# Procedura oblicza wyznacznik dla czterech elementów macierzy
# podanych jako argumenty.
#
sub wyznacznik { $_[0] * $_[3] - $_[1] * $_[2] }
```

Teraz możemy już obliczyć pole wielokąta:

```
# pole_wielokata( @xy )
#   Procedura oblicza pole wielokata z uzyciem wyznacznika. Do procedury
#   nalezy przekazac punkty w postaci ( $x0, $y0, $x1, $y1, $x2, $y2, ...).
#
sub pole_wielokata {
  my @xy = @_;
```

```

my $A = 0;                                     # Pole.

# Polaczenie ostatniego i pierwszego punktu jest wykonywane juz na poczatku
# procedury, a nie na jej koncu (punkt [-2, -1] ponizej).
for ( my ( $xa, $ya ) = @xy[ -2, -1 ];
      my ( $xb, $yb ) = splice @xy, 0, 2;
      ( $xa, $ya ) = ( $xb, $yb ) ) { # Przejscie do kolejnego punktu.
    $A += wyznacznik ( $xa, $ya, $xb, $yb );
  }

# Jesli punkty zostaly podane w kierunku przeciwnym do ruchu wskazowek
# zegara, to zmienna $A bedzie miala wartosc ujemna. Z tego powodu nalezy
# obliczyc wartosc absolutna.

return abs $A / 2;
}

```

Pole pięciokąta zdefiniowanego przez punkty (0, 1), (1, 0), (3, 2), (2, 3) i (0, 2) może być obliczone w następujący sposób:

```
print pole_wielokata( 0, 1, 1, 0, 3, 2, 2, 3, 0, 2 ), "\n";
```

Wynik wynosi:

```
5
```

Należy pamiętać, że kolejne punkty muszą być podane w kolejności zgodnej lub przeciwnej do kierunku ruchu wskazówek zegara (bliźsze wyjaśnienia można odnaleźć w kolejnym podrozdziale). Przekazanie punktów do procedury w innej kolejności oznacza inną definicję prostokąta, co pokazano na poniższym przykładzie:

```
print pole_wielokata( 0, 1, 1, 0, 0, 2, 3, 2, 2, 3 ), "\n";
```

Przeniesienie ostatniego punktu do środka dało w efekcie wynik równy:

```
1
```

Obwód wielokąta

Procedura służąca do obliczania pola wielokąta może być użyta także do uzyskania jego obwodu. W tym celu wystarczy zsumować długości, a nie wyznaczniki. Poniżej przedstawiono odpowiednią procedurę:

```

# obwod_wielokata ( @xy )
#   Procedura oblicza dlugosc obwodu wielokata. Do procedury nalezy
#   przekazac punkty w postaci ( $x0, $y0, $x1, $y1, $x2, $y2, ...).
#
sub obwod_wielokata {
  my @xy = @_;

  my $p = 0;                                     # Obwod.

  # Polaczenie ostatniego i pierwszego punktu jest wykonywane juz na poczatku
  # procedury, a nie na jej koncu (punkt [-2, -1] ponizej).
  for ( my ( $xa, $ya ) = @xy[ -2, -1 ];

```

```

my ( $xb, $yb ) = splice @xy, 0, 2;
( $xa, $ya ) = ( $xb, $yb ) { # Przejdźcie do kolejnego punktu.
  $A += dlugosc( $xa, $ya, $xb, $yb );
}

return $P / 2;
}

```

Obwód pięciokąta z poprzedniego przykładu można obliczyć w następujący sposób:

```
print obwod_wielokata( 0, 1, 1, 0, 3, 2, 2, 3, 0, 2 ), "\n";
```

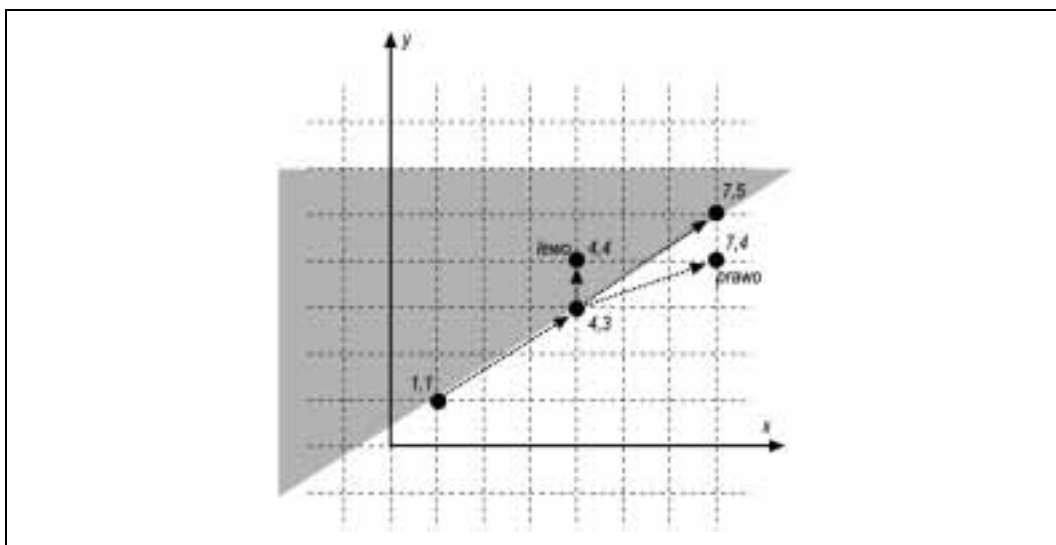
Wynik to:

```
8.89292222699217
```

Kierunek

Czasami warto wiedzieć, czy obiekty znajdują się na prawo (zgodnie z kierunkiem ruchu wskazówek zegara) lub na lewo od nas (przeciwnie do kierunku ruchu wskazówek zegara). Może to być przydatne na przykład do ustalenia, czy dany punkt znajduje się wewnątrz trójkąta. W tym rozdziale ograniczymy się jedynie do dwóch wymiarów, ponieważ trzy wymiary zmieniają znaczenie określeń „lewo” i „prawo” w zależności od kierunku wybranego jako „górną”.

Dla dowolnych trzech punktów możliwe jest ustalenie, czy tworzą one ścieżkę zgodną lub przeciwną do kierunku ruchu wskazówek zegara (a być może nie istnieje żadna taka ścieżka). Punkty (1, 1), (4, 3) i (4, 4) na rysunku 10.6 tworzą ścieżkę zgodną z kierunkiem ruchu wskazówek zegara (ścieżka kieruje się w lewo), natomiast punkty (1, 1), (4, 3) i (7, 4) tworzą ścieżkę o przeciwnym kierunku (skierowaną w prawo).



Rysunek 10.6. Dwie ścieżki — jedna skierowana w lewo, druga w prawo

Parametrami procedury `kierunek()` są trzy punkty, natomiast zwracana jest pojedyncza liczba. Jeśli zwrócona zostanie wartość dodatnia, to ścieżka przechodząca przez wszystkie trzy punkty jest zgodna z kierunkiem ruchu wskazówek zegara. Liczba ujemna oznacza ścieżkę przeciwną do kierunku ruchu wskazówek zegara, natomiast wartość bliska 0 oznacza, że trzy punkty znajdują się na linii prostej.

```
# kierunek( $x0, $y0, $x1, $y1, $x2, $y2 )
#   Procedura zwraca wartosc dodatnia, jesli przesuwajac sie z p0 (x0, y0)
#   do przez p1 do p2 nalezy skrecic w prawo, wartosc ujemna, jesli nalezy
#   skrecic w lewo.
#   Zero jest zwracane w przypadku, gdy wszystkie trzy punkty leza na tej samej
#   linii prostej. Nalezy jednak uwazac na bledy zmiennoprzecinkowe.
#
sub kierunek {
  my ( $x0, $y0, $x1, $y1, $x2, $y2 ) = @_;
  return ( $x2 - $x0 ) * ( $y1 - $y0 ) - ( $x1 - $x0 ) * ( $y2 - $y0 );
}
```

Np. poniższe wywołania:

```
print kierunek( 1, 1, 4, 3, 4, 4 ), "\n";
print kierunek( 1, 1, 4, 3, 7, 5 ), "\n";
print kierunek( 1, 1, 4, 3, 7, 4 ), "\n";
```

zwrócą wartości:

```
-3
0
3
```

Innymi słowy, punkt (4, 4) znajduje się na lewo (wartość ujemna) od wektora przebiegającego od (1, 1) do (4, 3), punkt (7, 5) znajduje się *na* tym wektorze (wartość zero), natomiast punkt (7, 4) znajduje się na prawo (wartość dodatnia) od tego wektora.

Procedura `kierunek()` stanowi spłaszczoną, dwuwymiarową wersję iloczynu wektorowego. *Iloczyn wektorowy* jest obiektem trójwymiarowym, który wskazuje na zewnątrz od płaszczyzny zdefiniowanej przez wektory $p_0 - p_1$ oraz $p_1 - p_2$.

Przecięcie

W tej części rozdziału będziemy często wykorzystywali podprocedurę `epsilon()` do obliczeń zmiennoprzecinkowych. Można wybrać dowolną wartość `epsilon`, ale zalecamy użycie wartości równej $1e-10$:

```
sub epsilon () { 1E-10 }
```

Szybsza wersja tej procedury to:

```
sub constant epsilon => 1E-10;
```

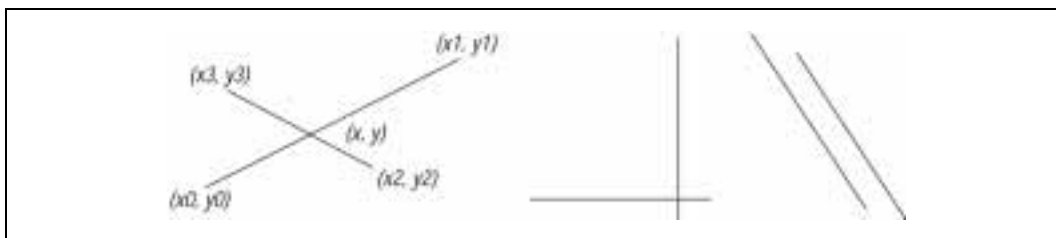
Więcej informacji na ten temat znajdziesz w rozdziale 11. poświęconym systemom liczbowym.

Punkt przecięcia prostych

Istnieją dwie odmiany przecięcia prostych. W ogólnym przypadku linie mogą mieć dowolne nachylenie, natomiast w bardziej restrykcyjnym przypadku wszystkie linie muszą być poziome lub pionowe; ten przypadek jest nazywany *przecięciem Manhattan*.

Przecięcie prostych — ogólny przypadek

W celu odnalezienia punktu przecięcia dwóch prostych wystarczy tylko odnaleźć miejsce, w którym krzyżują się proste $y_0 = b_0x + a_0$ i $y_1 = b_1x + a_1$. Pomocne tu będą techniki opisane w rozdziałach 7. i 16. poświęcone rozwiązywaniu równań i eliminacji Gaussa, ale trzeba pamiętać o możliwości wystąpienia pewnych problemów. Aby uniknąć błędów dzielenia przez 0, należy zwrócić uwagę na przypadek, w którym jedna z linii jest pozioma lub pionowa. Specjalnym przypadkiem są również proste równoległe. Rysunek 10.7 ilustruje różne rodzaje przecięcia prostych.



Rysunek 10.7. Przecięcia prostych: przypadek ogólny, prosta pozioma i pionowa oraz proste równoległe

Obecność tych specjalnych przypadków sprawia, że algorytm obliczający punkt przecięcia prostych staje się dość skomplikowany. Również implementacja tego algorytmu wymaga dużej ilości kodu:

```
# przeciecie_prostych( $x0, $y0, $x1, $y1, $x2, $y2, $x3, $y3 )
#
#   Procedura oblicza punkt przeciecia odcinkow
#   (x0,y0) - (x1,y1) i (x2,y2) - (x3,y3).
#
#   Mozliwe jest takze podanie czterech argumentow decydujacych
#   o nachyleniu obu prostych oraz punktach przeciecia z osia y. Innymi slowy,
#   jesli obie proste zostana przedstawione jako y = ax+b, to nalezy podac
#   dwie wartosci 'a' i dwie wartosci 'b'.
#
#   Procedura przeciecie_prostych() zwraca trzy wartosci ($x, $y, $s) dla punktu
#   przeciecia, gdzie $x i $y to wspolrzedne tego punktu, a $s jest prawda,
#   jesli odcinki przecinaja sie, lub falsz, jesli odcinki nie maja punktu
#   przeciecia (ale ekstrapolowane proste przecinalyby sie).
#
#   W innych przypadkach zwracany jest ciag opisujacy przyczynę, dla ktorej
#   odcinki nie przecinaja sie:
#   "poza prostopadloscianem ograniczajacym"
#   "rownolegle"
#   "rownolegle wspolliniowe"
#   "rownolegle poziome"
#   "rownolegle pionowe"
```



```

# Ze względu na kontrole prostopadloscianow ograniczajacych przypadki
# "rownolegle poziome" i "rownolegle pionowe" nigdy nie wystepuja.
# (Prostopadloscian ograniczajace zostana omowione w dalszej czesci
# rozdzialu.)
#
sub przeciecie_prostych (
my ( $x0, $y0, $x1, $y1, $x2, $y2, $x3, $y3 );

if ( @_ == 8 ) {
    ( $x0, $y0, $x1, $y1, $x2, $y2, $x3, $y3 ) = @_;

    # Prostopadloscian ograniczajace dziela proste na odcinki.
    # Procedura prostopadloscian_ograniczajacy() zostanie zdefiniowana
    # w dalszej czesci rozdzialu.
    my @prostokat_a = prostopadloscian_ograniczajacy ( 2, $x0, $y0, $x1, $y1 );
    my @prostokat_b = prostopadloscian_ograniczajacy ( 2, $x2, $y2, $x3, $y3 );

    # Po usunieciu tego testu odcinki stalyby sie nieskonczonymi prostymi.
    # Procedura prostopadloscian_ograniczajacy_przeciecie() zostanie
    # zdefiniowana w dalszej czesci rozdzialu.
    return "poza prostopadloscianem ograniczajacym"
        unless prostopadloscian_ograniczajacy_przeciecie ( 2, @prostokat_a,
            @prostokat_b );
} elsif ( @_ == 4 ) { # Forma parametryczna.
    $x0 = $x2 = 0;
    ( $y0, $y2 ) = @_[ 1, 3 ];
    # Nalezy pomnozyc przez 'mnoznic', aby uzyskac wystarczajaca wielkosc.
    my $abs_y0 = abs $y0;
    my $abs_y2 = abs $y2;
    my $mnoznic = 10 * ( $abs_y0 > $abs_y2 ? $abs_y0 : $abs_y2 );
    $x1 = $x3 = $mnoznic;
    $y1 = $_[0] * $x1 + $y0;
    $y3 = $_[2] * $x2 + $y2;
}

my ( $x, $y ); # Jeszcze nieustalony punkt przeciecia.

my $dy10 = $y1 - $y0; # dyPQ, dxPQ to roznice wspolrzecznych
my $dx10 = $x1 - $x0; # miedzy punktami P i Q.
my $dy32 = $y3 - $y2;
my $dx32 = $x3 - $x2;

my $dy10z = abs( $dy10 ) < epsilon; # Czy roznica $dy10 jest zerowa?
my $dx10z = abs( $dx10 ) < epsilon;
my $dy32z = abs( $dy32 ) < epsilon;
my $dx32z = abs( $dx32 ) < epsilon;

my $dyx10; # Nachylenie.
my $dyx32;

$dyx10 = $dy10 / $dx10 unless $dx10z;
$dyx32 = $dy32 / $dx32 unless $dx32z;

# Po uzyskaniu wszystkich roznic i nachylen mozna wykonac rozpoznanie
# specjalnych przypadkow z poziomymi i pionowymi prostymi.
# Nachylenie rowne zero oznacza pozioma prosta.

unless ( defined $dyx10 or defined $dyx32 ) {
    return "rownolegle pionowe";
} elsif ( $dy10z and not $dy32z ) { # Pierwsza prosta pozioma.
    $y = $y0;
    $x = $x2 + ( $y - $y2 ) * $dx32 / $dy32;
}

```

```

) elsif ( not $dy10z and $dy32z ) { # Druga prosta pozioma.
  $y = $y2;
  $x = $x0 + ( $y - $y0 ) * $dx10 / $dy10;
) elsif ( $dx10z and not $dx32z ) { # Pierwsza prosta pionowa.
  $x = $x0;
  $y = $y2 + $dyx32 * ( $x - $x2 );
) elsif ( not $dx10z and $dx32z ) { # Druga prosta pionowa.
  $x = $x2;
  $y = $y0 + $dyx10 * ( $x - $x0 );
) elsif ( abs( $dyx10 - $dyx32 ) < epsilon ) {
  # Obie wartosci nachylenia sa zaskakujaco zblizone.
  # Prawdopodobnie jest to przypadek rownoległych prostych wspolliniowych
  # lub zwykle proste rownolegle.

  # Kontrola prostokatow ograniczajacych spowodowala juz odrzucenie
  # przypadkow "rownolegle poziome" i "rownolegle pionowe".

  my $ya = $y0 - $dyx10 * $x0;
  my $yb = $y2 - $dyx32 * $x2;

  return "rownolegle wspolliniowe" if abs( $ya - $yb ) < epsilon;
  return "rownolegle";
} else {
  # Nie wystapil zaden specjalny przypadek.
  # Obie proste rzeczywiscie sie przecinaja.

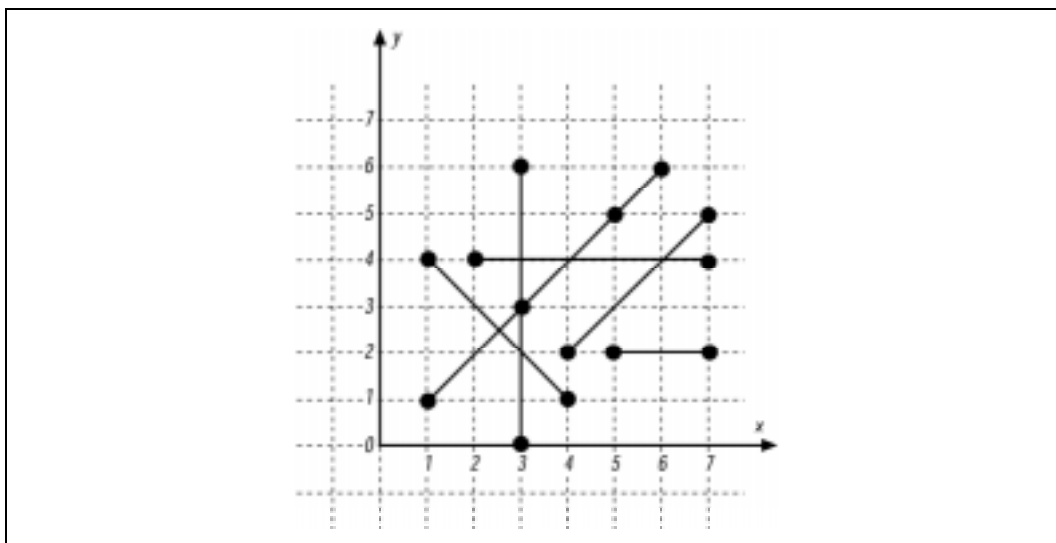
  $x = ($y2 - $y0 + $dyx10*$x0 - $dyx32*$x2) / ($dyx10 - $dyx32);
  $y = $y0 + $dyx10 * ( $x - $x0 );
}

my $h10 = $dx10 ? ( $x - $x0 ) / $dx10 : ( $dy10 ? ( $y - $y0 ) / $dy10 : 1 );
my $h32 = $dx32 ? ( $x - $x2 ) / $dx32 : ( $dy32 ? ( $y - $y2 ) / $dy32 : 1 );

return ( $x, $y, $h10 >= 0 && $h10 <= 1 && $h32 >= 0 && $h32 <= 1 );
}

```

Na rysunku 10.8 przedstawiono kilka przykładów przecinających się prostych.



Rysunek 10.8. Przykłady przecinających się prostych

Procedura `przeciecie_prostych()` zostanie wykorzystana do sprawdzenia sześciu potencjalnych przypadków przecinających się prostych:

```
print "@{[przeciecie_prostych( 1, 1, 5, 5, 1, 4, 4, 1 )]}\n";
print "@{[przeciecie_prostych( 1, 1, 5, 5, 2, 4, 7, 4 )]}\n";
print "@{[przeciecie_prostych( 1, 1, 5, 5, 3, 0, 3, 6 )]}\n";
print "@{[przeciecie_prostych( 1, 1, 5, 5, 5, 2, 7, 2 )]}\n";
print   przeciecie_prostych( 1, 1, 5, 5, 4, 2, 7, 5 ), "\n";
print   przeciecie_prostych( 1, 1, 5, 5, 3, 3, 6, 6 ), "\n";
```

Poniżej przedstawiono wyniki:

```
2.5 2.5 1
4 4 1
3 3 1
2 2
rownolegle
rownolegle wspolliniowe
```

Obliczenie dokładnego punktu przecięcia czasem nie jest wymagane, gdyż wystarczy informacja o tym, że dwie proste przecinają się. Do uzyskania tej informacji wystarczy zbadanie znaków dwóch iloczynów wektorowych, a mianowicie $(p_2 - p_0) \times (p_1 - p_0)$ oraz $(p_3 - p_0) \times (p_1 - p_0)$. Przedstawiona poniżej procedura `przecinanie_prostych()` zwraca prawdę lub fałsz w zależności od tego, czy dwie linie proste przecinają się.

```
# przecinanie_prostych( $x0, $y0, $x1, $y1, $x2, $y2, $x3, $y3 )
#   Procedura zwraca prawde, jesli dwie linie proste zdefiniowane
#   przez podane punkty przecinaja sie.
#   W przypadkach granicznych o wyniku decyduje wartosc epsilon.

sub przecinanie_prostych {

    my ( $x0, $y0, $x1, $y1, $x2, $y2, $x3, $y3 ) = @_;

    my @prostokat_a = prostopadloscian_ograniczajacy( 2, $x0, $y0, $x1, $y1 );
    my @prostokat_b = prostopadloscian_ograniczajacy( 2, $x2, $y2, $x3, $y3 );

    # Jesli nawet prostopadlosciany ograniczajace nie przecinaja sie, to mozna
    # natychmiast przerwac prace procedury.

    return 0 unless prostopadloscian_ograniczajacy_przeciecie( 2, @prostokat_a,
        @prostokat_b );

    # Jesli znaki obu wyznacznikow (wartosci absolutnych lub dlugosci
    # iloczynow wektorowych) roznia sie, to proste przecinaja sie.

    my $dx10 = $x1 - $x0;
    my $dy10 = $y1 - $y0;

    my $wyzn_a = wyznacznik( $x2 - $x0, $y2 - $y0, $dx10, $dy10 );
    my $wyzn_b = wyznacznik( $x3 - $x0, $y3 - $y0, $dx10, $dy10 );

    return 1 if $wyzn_a < 0 and $wyzn_b > 0 or
        $wyzn_a > 0 and $wyzn_b < 0;

    if ( abs( $wyzn_a ) < epsilon ) {
        if ( abs( $wyzn_b ) < epsilon ) {
            # Oba iloczyny wektorowe sa zerowe.
            return 1;
        } elsif ( abs( $x3 - $x2 ) < epsilon and
            abs( $y3 - $y2 ) < epsilon ) {
```

```

        # Jeden z iloczynow wektorowych ma wartosc zerowa,
        # a drugi wektor (od (x2,y2) do (x3,y3))
        # jest rowniez zerowy.
        return 1;
    }
} elsif ( abs( $wyzn_b < epsilon ) ) {
    # Jeden z iloczynow wektorowych ma wartosc zerowa,
    # a drugi wektor jest rowniez zerowy.
    return 1 if abs( $dx10 ) < epsilon and abs( $dy10 ) < epsilon;
}
return 0; # Domyslne wyznaczenie to brak przeciecia.
}

```

Przetestujemy procedurę przecinanie_prostych() dla dwóch par linii prostych. Pierwsza para przecina się w punkcie (3, 4), natomiast druga para prostych nie krzyżuje się w ogóle, ponieważ są to linie równoległe.

```

print "Przeciecie\n"
if      przecinanie_linii( 3, 0, 3, 6, 1, 1, 6, 6 );
print "Brak przeciecia\n"
unless przecinanie_linii( 1, 1, 6, 6, 4, 2, 7, 5 );
Przeciecie
Brak przeciecia

```

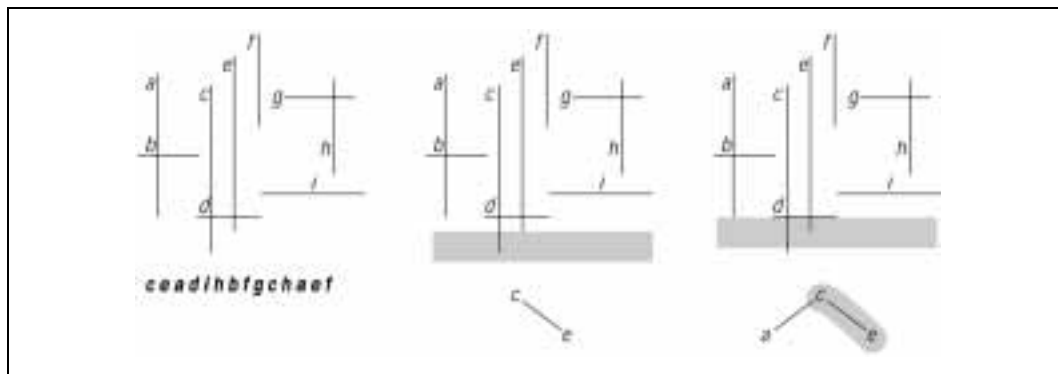
Przecięcie prostych pionowych i poziomych

Bardzo często ogólny przypadek przecięcia prostych jest *zbyt* ogólny; jeśli linie proste są zgodne z zasadami geometrii Manhattan (to znaczy są pionowe lub poziome), to dostępna jest zupełnie inna metoda wyszukiwania punktów przecięcia.

W tym przypadku wykorzystywane są *drzewa binarne*, które zostały przedstawione w rozdziale 3. poświęconym zaawansowanym struktutom danych. Pozioma prosta jest przesuwana od dołu do góry płaszczyzny, co daje w efekcie drzewo binarne pionowych linii prostych posortowanych według ich współrzędnej x . Z tego powodu takie drzewo nosi nazwę *drzewa x* . Drzewo x jest tworzone w następujący sposób:

- Punkty są przetwarzane od dołu do góry i od lewej do prawej. Linie pionowe są przetwarzane przed liniami poziomymi. Oznacza to, iż oba punkty końcowe poziomej prostej są widoczne jednocześnie, podczas gdy punkty końcowe prostej pionowej będą widoczne oddzielnie.
- Każde pojawienie się dolnego punktu końcowego pionowej prostej powoduje dodanie tego węzła do drzewa binarnego. Wartością tego węzła jest współrzędna x . Powoduje to podzielenie punktów w drzewie w następujący sposób: jeśli prosta a znajduje się na lewo od prostej b , to węzeł a znajdzie się w drzewie na lewo od węzła b .
- Każde pojawienie się górnego punktu końcowego pionowej prostej powoduje usunięcie odpowiadającego mu węzła z drzewa binarnego.
- Po napotkaniu poziomej prostej węzły drzewa (aktywne proste pionowe) są sprawdzane w celu ustalenia, czy występuje przecięcie z tą prostą. Poziome linie proste nie są dodawane do drzewa, gdyż ich jedynym zadaniem jest wywołanie kontroli przecięcia.

Rysunek 10.9 przedstawia sposób tworzenia drzewa x w czasie przesuwania wymaginowanej prostej od dołu do góry płaszczyzny. Rysunek po lewej stronie przedstawia jedynie kolejność wykrywania poszczególnych odcinków — najpierw odcinek c , potem e itd. Środkowy rysunek ilustruje drzewo x tuż po wykryciu odcinka e , natomiast rysunek po prawej przedstawia drzewo binarne po wykryciu odcinków a i d . Zwróć uwagę, że odcinek d nie został dodany do drzewa, ponieważ służy on tylko do wywołania kontroli przecięcia.



Rysunek 10.9. Przecinanie poziomych i pionowych linii prostych w geometrii Manhattan

Przedstawiona tutaj procedura `przeciecie_manhattan()` implementuje opisany wcześniej algorytm.

```
# przeciecie_manhattan ( @proste )
#   Procedura wyszukuje punkty przecięcia poziomych i pionowych linii prostych.
#   Ta procedura wymaga funkcji proste_dodawanie_do_drzewa(),
#   proste_usuwanie_z_drzewa() i proste_przeszukiw_drzewa(), które zostały
#   zdefiniowane w rozdziale 3.
#
sub przeciecie_manhattan {
    my @op; # Współrzędne są tutaj przekształcane jak operacje.

    while (@_) {
        my @prosta = splice @_, 0, 4;

        if ($prosta[1] == $prosta[3]) { # Pozioma prosta.
            push @op, [ @prosta, \&drzewo_sprawdzenia_przedzialu ];
        } else { # Pionowa prosta.
            # Odwrocenie, jeśli do góry nogami.
            @prosta = @prosta[0, 3, 2, 1] if $prosta[1] > $prosta[3];

            push @op, [ @prosta[0, 1, 2, 1], \&proste_dodawanie_do_drzewa ];
            push @op, [ @prosta[0, 3, 2, 3], \&proste_usuwanie_z_drzewa ];
        }
    }

    my $drzewo_x; # Drzewo sprawdzania przedziału.
    # Procedura porównująca współrzędne x.
    my $porownaj_x = sub { $_[0]->[0] <=> $_[1]->[0] };
    my @przeciecie; # Przecięcia prostych.

    foreach my $op (sort { $a->[1] <=> $b->[1] ||
        $a->[4] == \&drzewo_sprawdzenia_przedzialu ||
        $a->[0] <=> $b->[0] }
        @op) {
```

```

    if ($op->[4] == \&drzewo_sprawdzenia_przedzialu) {
        push @przeciecie, $op->[4]->( \&drzewo_x, $op, $porownaj_x );
    } else { # Dodanie lub usuniecie.
        $op->[4]->( \&drzewo_x, $op, $porownaj_x );
    }
}

return @przeciecie;
}

# drzewo_sprawdzenia_przedzialu( $powiazanie_drzewa, $pozioma, $porownanie )
#   Ta podprocedura zwraca liste wezlow drzewa, ktore znajduja sie w przedziale
#   od $pozioma->[0] do $pozioma->[1]. Procedura jest zalezna od drzew
#   binarnych, ktore zostaly przedstawione w rozdziale 3.
#
sub drzewo_sprawdzenia_przedzialu {
    my ( $drzewo, $pozioma, $porownanie ) = @_;

    my @przedzial      = ( ); # Wartosc zwrotna.
    my $wezel          = $$drzewo;
    my $pionowa_x      = $wezel->{val};
    my $pozioma_dolny  = [ $pozioma->[ 0 ] ];
    my $pozioma_gorny  = [ $pozioma->[ 1 ] ];

    return unless defined $$drzewo;

    push @przedzial, drzewo_sprawdzenia_przedzialu( \&wezel->{left}, $pozioma,
        $porownanie )
        if defined $wezel->{left};

    push @przedzial, $pionowa_x->[ 0 ], $pozioma->[ 1 ]
        if $porownanie->( $pozioma_dolny, $pozioma ) <= 0 &&
            $porownanie->( $pozioma_gorny, $pozioma ) >= 0;

    push @przedzial, drzewo_sprawdzenia_przedzialu( \&wezel->{right}, $pozioma,
        $porownanie )
        if defined $wezel->{right};

    return @przedzial;
}

```

Procedura `przeciecie_manhattan()` działa w czasie nie dłuższym niż $O(N \log N + k)$, gdzie k to liczba przecięć, która nie może być większa niż $(N/2)^2$.

Sposób użycia procedury `przeciecie_manhattan()` zostanie przedstawiony na przykładzie odcinków z rysunku 10.10.

Poszczególne odcinki zostają zapisane w tablicy. Wyszukiwanie przecięć odbywa się w następujący sposób:

```

@proste = ( 1, 6, 1, 3, 1, 2, 3, 2, 1, 1, 4, 1,
            2, 4, 7, 4, 3, 0, 3, 6, 4, 3, 4, 7,
            5, 7, 5, 4, 5, 2, 7, 2 );

print join(" ", przeciecie_manhattan (@proste)), "\n";

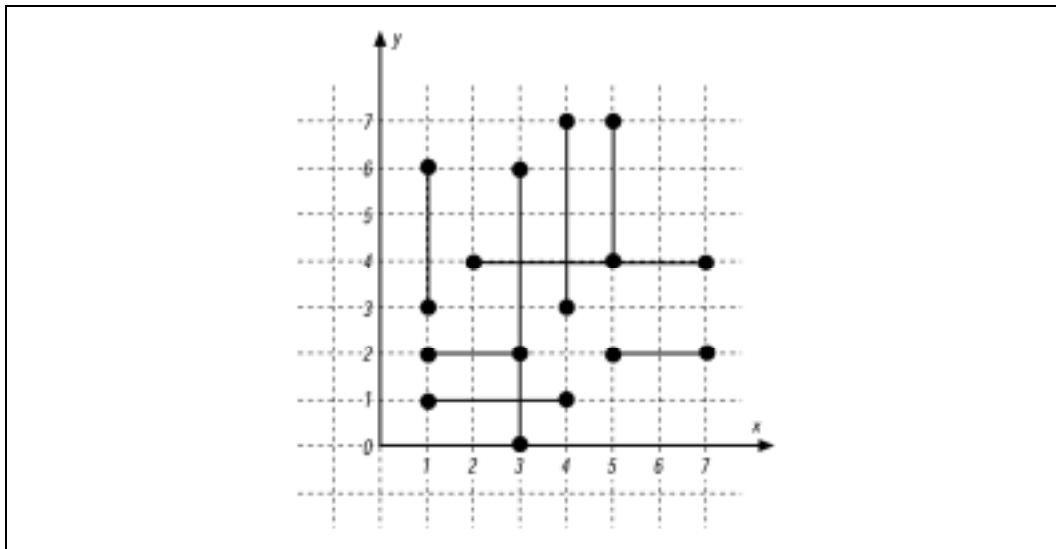
```

Uzyskane wyniki to:

```

3 1 3 2 1 4 3 4 4 4 5 4

```



Rysunek 10.10. Odcinki dla przykładu zastosowania algorytmu Manhattan

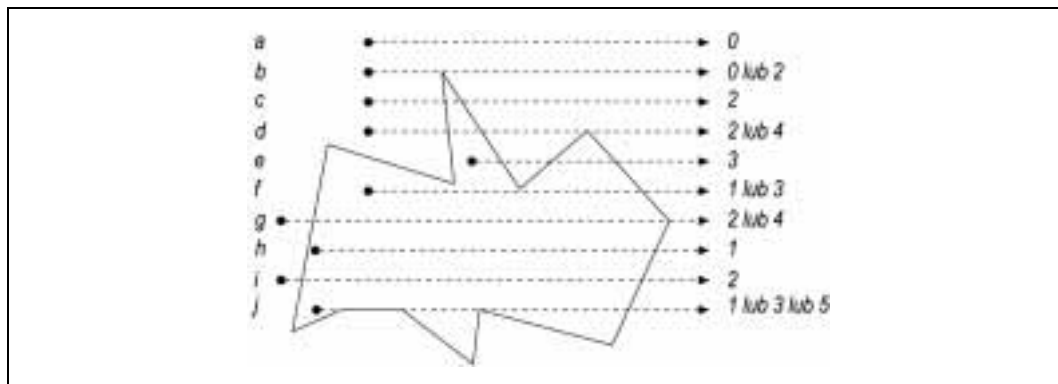
Na podstawie uzyskanych wyników można stwierdzić, że istnieje sześć punktów przecięcia; na przykład punkt (3, 1) stanowi najniższy punkt przecięcia, natomiast (5, 4) to najwyższy taki punkt.

Zawieranie punktów i wielokątów

W tej części rozdziału przedstawimy metody umożliwiające ustalenie, czy punkt znajduje się *wewnątrz* wielokąta. Pozwala to na przeprowadzenie bardziej skomplikowanych operacji, takich jak sprawdzenie, czy wewnątrz wielokąta znalazł się cały odcinek czy tylko jego część.

Punkt wewnątrz wielokąta

Sprawdzenie, czy punkt znajduje się wewnątrz figury geometrycznej, wymaga wyprowadzenia prostej od tego punktu do „nieskończoności” (czyli do dowolnego punktu, który na pewno znajduje się poza obszarem wielokąta). Algorytm jest bardzo prosty — wystarczy ustalić, ile razy prosta przecina krawędzie wielokąta. Jeśli ta liczba będzie nieparzysta (punkty e, f, h i j na rysunku 10.11), to punkt znajduje się wewnątrz figury. W przeciwnym razie punkt jest umieszczony na zewnątrz (punkty a, b, c, d, g i i na tym samym rysunku). Istnieją jednak pewne specjalne przypadki (bardzo rzadko zdarza się algorytm geometryczny, który nie powoduje problemów) wymagające specjalnego potraktowania. Co się stanie, jeśli wyprowadzona prosta przetnie wierzchołek wielokąta (punkty d, f, g i j)? W jeszcze gorszym przypadku prosta może przebiegać wzdłuż krawędzi figury geometrycznej (punkt j). Przedstawiony tu algorytm gwarantuje zwrócenie prawdy dla punktów naprawdę znajdujących się wewnątrz wielokąta lub fałszu dla pozostałych przypadków. Przypadki graniczne są traktowane zgodnie z wybranym sposobem liczenia.



Rysunek 10.11. Czy punkt znajduje się wewnątrz wielokąta? Wystarczy policzyć przecięcia krawędzi

Procedura `punkt_wewnatrz_wielokata()` zwraca prawdę, jeśli dany punkt (pierwsze dwa argumenty) znajduje się wewnątrz wielokąta opisanego przez kolejne argumenty:

```
# punkt_wewnatrz_wielokata ( $x, $y, @xy )
#
#   Parametry to punkt ($x,$y) oraz wielokąt ($x0, $y0, $x1, $y1, ...) w @xy.
#   Procedura zwraca 1 dla punktów znajdujących się wewnątrz wielokąta
#   i 0 dla punktów poza wielokątem. W przypadku punktów granicznych sytuacja
#   jest bardziej skomplikowana, a jej omówienie wykraczałoby poza tematykę
#   tej książki. Punkty graniczne są jednak ustalane jednoznacznie;
#   jeśli płaszczyzna zostanie podzielona na wiele wielokątów, to każdy punkt
#   znajdzie się dokładnie w jednym wielokącie.
#
#   Procedura wywodzi się z dokumentu FAQ dla grupy dyskusyjnej
#   comp.graphics.algorithms i została udostępniona przez Wm. Randolpha
#   Franklina.
#
sub punkt_wewnatrz_wielokata {
    my ( $x, $y, @xy ) = @_;

    my $n = @xy / 2;                               # Liczba punktów wielokąta.
    my @i = map { 2 * $_ } 0 .. (@xy/2);          # Parzyste indeksy @xy.
    my @x = map { $xy[ $_ ] } @i;                  # Parzyste indeksy: współrzędne x.
    my @y = map { $xy[ $_ + 1 ] } @i;             # Nieparzyste indeksy: współrzędne y.

    my ( $i, $j );                                 # Indeksy.

    my $polozenie = 0;                             # 0 = na zewnątrz, 1 = wewnątrz.

    for ( $i = 0, $j = $n - 1 ; $i < $n; $j = $i++ ) {
        if (
            (
                # Jesli y znajduje się w granicach (y-)...
                ( ( $y[ $i ] <= $y ) && ( $y < $y[ $j ] ) ) ||
                ( ( $y[ $j ] <= $y ) && ( $y < $y[ $i ] ) ) )
            )
            and
            # ... i prosta poprowadzona od punktu (x,y) do nieskonczonosci
            # przecina krawędź pomiędzy i-tym i j-tym punktem...
            ( $x
              <
              ( $x[ $j ] - $x[ $i ] ) *

```



```

        ( $y - $y[ $i ] ) / ( $y[ $j ] - $y[ $i ] ) + $x[ $i ] ) {
        $polozenie = not $polozenie; # Zmiana polozenia.
    }
}

return $polozenie ? 1 : 0;
}

```

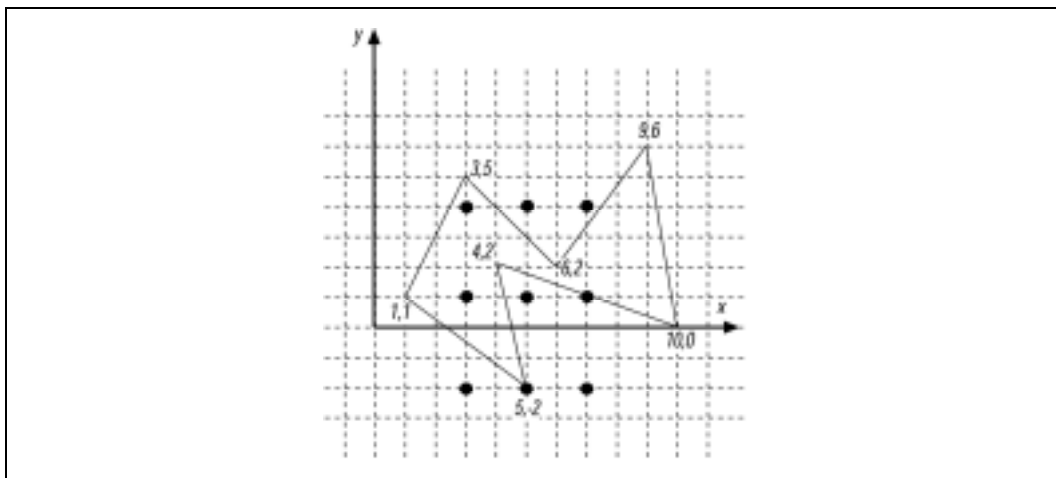
Sprawdzenie parzystości lub nieparzystości liczby przecięć nie wymaga nawet zliczania tych przecięć, gdyż istnieje znacznie szybsza metoda polegająca na przełączaniu wartości zmiennej logicznej \$polozenie.

Wykorzystując wielokąt z rysunku 10.12, możemy sprawdzić, które z dziewięciu punktów znajdują się wewnątrz tej figury:

```

@wielokat = ( 1, 1, 3, 5, 6, 2, 9, 6, 10, 0, 4,2, 5, -2);
print "( 3, 4): ", punkt_wewnatrz_wielokata( 3, 4, @wielokat ), "\n";
print "( 3, 1): ", punkt_wewnatrz_wielokata( 3, 1, @wielokat ), "\n";
print "( 3,-2): ", punkt_wewnatrz_wielokata( 3,-2, @wielokat ), "\n";
print "( 5, 4): ", punkt_wewnatrz_wielokata( 5, 4, @wielokat ), "\n";
print "( 5, 1): ", punkt_wewnatrz_wielokata( 5, 1, @wielokat ), "\n";
print "( 5,-2): ", punkt_wewnatrz_wielokata( 5,-2, @wielokat ), "\n";
print "( 7, 4): ", punkt_wewnatrz_wielokata( 7, 4, @wielokat ), "\n";
print "( 7, 1): ", punkt_wewnatrz_wielokata( 7, 1, @wielokat ), "\n";
print "( 7,-2): ", punkt_wewnatrz_wielokata( 7,-2, @wielokat ), "\n";

```



Rysunek 10.12. Przykładowy wielokąt z punktami wewnętrznymi i zewnętrznymi

Oto uzyskane wyniki:

```

(3, 4): 1
(3, 1): 1
(3,-2): 0
(5, 4): 0
(5, 1): 0
(5,-2): 0
(7, 4): 0
(7, 1): 1
(7,-2): 0

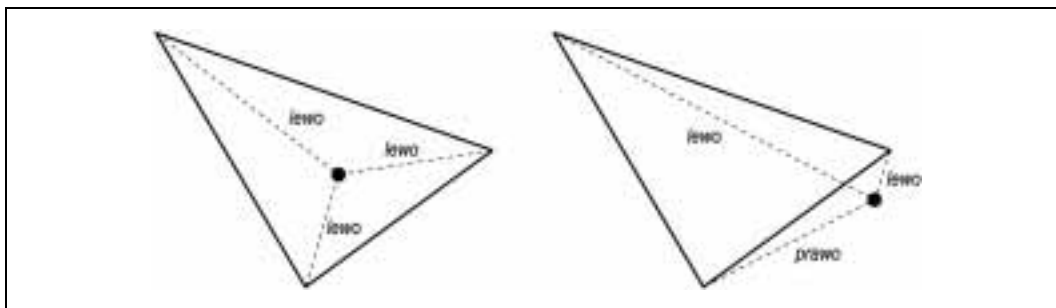
```

Udało się nam stwierdzić, że punkty (3, 4), (3, 1) i (7, 1) są położone wewnątrz wielokąta, natomiast pozostałe punkty leżą na zewnątrz.

Punkt wewnątrz trójkąta

W przypadku prostszych wielokątów, takich jak trójkąty, możliwe jest zastosowanie alternatywnego algorytmu. Po wybraniu jednego z wierzchołków trójkąta odbywa się sprawdzenie, czy punkt jest widoczny po lewej czy po prawej stronie. Teraz należy przejść do drugiego wierzchołka i powtórzyć procedurę. Jeśli punkt widoczny jest po innej stronie niż poprzednio, to nie może znajdować się wewnątrz trójkąta. Operacja jest powtarzana także dla trzeciego wierzchołka. Jeśli punkt będzie widoczny zawsze po tej samej stronie (lub leży na krawędzi trójkąta), to można bezpiecznie przyjąć, że znajduje się wewnątrz trójkąta.

Rysunek 10.13 stanowi ilustrację powyższego algorytmu. Kolejne wierzchołki trójkąta są badane w kolejności przeciwnej do kierunku ruchu wskazówek zegara. Punkty znajdujące się wewnątrz trójkąta powinny być widoczne po lewej stronie. Jeśli punkt znajduje się na zewnątrz, to będzie możliwe zaobserwowanie zmiany kierunku.



Rysunek 10.13. Sprawdzenie, czy punkt znajduje się wewnątrz trójkąta

Przedstawiona powyżej metoda została zaimplementowana w podprocedurze `punkt_wewnatrz_trojkat()`:

```
# punkt_wewnatrz_trojkat( $x, $y, $x0, $y0, $x1, $y1, $x2, $y2 )
# Procedura zwraca prawde, jesli punkt ($x,$y) znajduje sie wewnatrz
# trojkata zdefiniowanego przez punkty ($x0, $y0, $x1, $y1, $x2, $y2).
#

sub punkt_wewnatrz_trojkat (
    my ( $x, $y, $x0, $y0, $x1, $y1, $x2, $y2 ) = @_;

    # Procedura kierunku() pochodzi z wczesniejszej czesci rozdzialu.
    my $cw0 = kierunku( $x0, $y0, $x1, $y1, $x, $y );
    return 1 if abs( $cw0 ) < epsilon; # Pierwsza krawedz.

    my $cw1 = kierunku( $x1, $y1, $x2, $y2, $x, $y );
    return 1 if abs( $cw1 ) < epsilon; # Druga krawedz.

    # Niepowodzenie w przypadku zmiany znaku.
    return 0 if ( $cw0 < 0 and $cw1 > 0 ) or ( $cw0 > 0 and $cw1 < 0 );
```

```

my $cw2 = kierunek( $x2, $y2, $x0, $y0, $x, $y );
return 1 if abs( $cw2 ) < epsilon; # Trzecia krawedz.

# Niepowodzenie w przypadku zmiany znaku.
return 0 if ( $cw0 < 0 and $cw2 > 0 ) or ( $cw0 > 0 and $cw2 < 0 );

# Sukces!
return 1;
}

```

Zdefiniujmy teraz trójkąt o wierzchołkach (1, 1), (5, 6) i (9, 3), a następnie sprawdzmy, czy siedem przykładowych punktów znajduje się wewnątrz tego trójkąta:

```

@trojkat = ( 1, 1, 5, 6, 9, 3 );
print "(1, 1): ", punkt_wewnatrz_trojkat( 1, 1, @trojkat ), "\n";
print "(1, 2): ", punkt_wewnatrz_trojkat( 1, 2, @trojkat ), "\n";
print "(3, 2): ", punkt_wewnatrz_trojkat( 3, 2, @trojkat ), "\n";
print "(3, 3): ", punkt_wewnatrz_trojkat( 3, 3, @trojkat ), "\n";
print "(3, 4): ", punkt_wewnatrz_trojkat( 3, 4, @trojkat ), "\n";
print "(5, 1): ", punkt_wewnatrz_trojkat( 5, 1, @trojkat ), "\n";
print "(5, 2): ", punkt_wewnatrz_trojkat( 5, 2, @trojkat ), "\n";

```

Oto uzyskane wyniki:

```

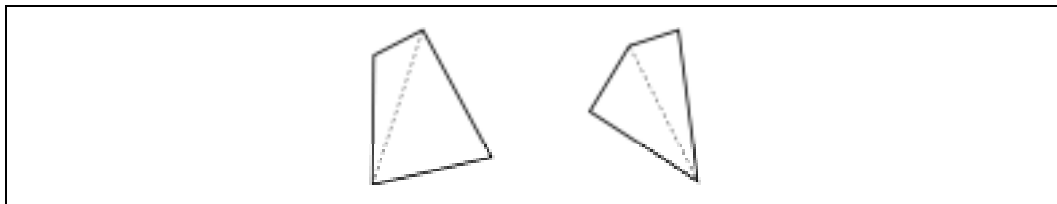
(1, 1): 1
(1, 2): 0
(3, 2): 1
(3, 3): 1
(3, 4): 0
(5, 1): 0
(5, 2): 1

```

Punkty (1, 2), (3, 4) i (5, 1) znajdują się na zewnątrz trójkąta, natomiast pozostałe punkty są umieszczone wewnątrz niego.

Punkt wewnątrz czworokąta

Każdy *czworokąt* wypukły (wszystkie kwadraty i prostokąty są czworokątami) może być podzielony na dwa trójkąty poprzez połączenie dwóch przeciwległych wierzchołków. Wykorzystując tę cechę i podprocedurę `punkt_wewnatrz_trojkat()`, możemy sprawdzić, czy dany punkt znajduje się wewnątrz czworokąta. Należy uważać jedynie na specjalny rodzaj czworokątów z nakładającymi się wierzchołkami, które mogą ulec redukcji do trójkątów, odcinków, a nawet punktów. Podział czworokąta na dwa trójkąty przedstawiono na rysunku 10.14.



Rysunek 10.14. Podział czworokąta na dwa trójkąty

Poniższa podprocedura `punkt_wewnatrz_czworokata()` dwukrotnie wywołuje procedurę `punkt_wewnatrz_trojkatka()` dla każdego trójkąta, który powstał po podziale:

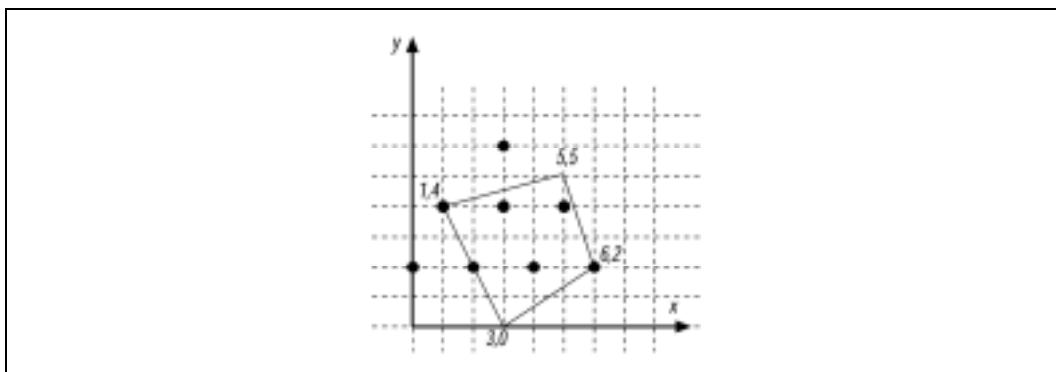
```
# punkt_wewnatrz_czworokata( $x, $y, $x0, $y0, $x1, $y1, $x2, $y2, $x3, $y3 )
# Procedura zwraca prawde, jesli punkt ($x,$y) znajduje sie wewnatrz
# czworokata
# zdefiniowanego przez punkty p0 ($x0,$y0), p1, p2 oraz p3.
# Wykorzystywana jest podprocedura punkt_wewnatrz_trojkatka().
#

sub punkt_wewnatrz_czworokata {
  my ( $x, $y, $x0, $y0, $x1, $y1, $x2, $y2, $x3, $y3 ) = @_;

  return punkt_wewnatrz_trojkatka( $x, $y, $x0, $y0, $x1, $y1, $x2, $y2 ) ||
         punkt_wewnatrz_trojkatka( $x, $y, $x0, $y0, $x2, $y2, $x3, $y3 )
}

```

Działanie procedury `punkt_wewnatrz_czworokata()` zostanie zademonstrowane na przykładzie czworokąta i punktów pokazanych na rysunku 10.15.



Rysunek 10.15. Ustalenie punktów znajdujących się wewnątrz czworokąta

Wierzchołki czworokąta to (1, 4), (3, 0), (6, 2) i (5, 5), a więc procedurę `punkt_wewnatrz_czworokata()` należy wywołać w następujący sposób:

```
@czworokat = ( 1, 4, 3, 0, 6, 2, 5, 5 );
print "(0, 2): ", punkt_wewnatrz_czworokata( 0, 2, @czworokat ), "\n";
print "(1, 4): ", punkt_wewnatrz_czworokata( 1, 4, @czworokat ), "\n";
print "(2, 2): ", punkt_wewnatrz_czworokata( 2, 2, @czworokat ), "\n";
print "(3, 6): ", punkt_wewnatrz_czworokata( 3, 6, @czworokat ), "\n";
print "(3, 4): ", punkt_wewnatrz_czworokata( 3, 4, @czworokat ), "\n";
print "(4, 2): ", punkt_wewnatrz_czworokata( 4, 2, @czworokat ), "\n";
print "(5, 4): ", punkt_wewnatrz_czworokata( 5, 4, @czworokat ), "\n";
print "(6, 2): ", punkt_wewnatrz_czworokata( 6, 2, @czworokat ), "\n";

```

Uzyskane wyniki to:

```
(0, 2): 0
(1, 4): 1
(2, 2): 1
(3, 6): 0
(3, 4): 1

```



```

    return @bb;
}

# prostopadloscian_ograniczajacy($d, @p [, @b])
# Procedura zwraca prostopadloscian ograniczajacy dla punktow @p w $d
# wymiarach.
# @b to opcjonalny, wstepny prostopadloscian ograniczajacy, ktory moze byc
# uzyty do utworzenia zbiorczego prostopadloscianu ograniczajacego
# zawierajacego prostopadlosciany odnalezione przez wcześniejsze wywołania
# tej procedury (ta funkcja jest wykorzystywana przez procedure
# prostopadloscian_ograniczajacy_punkty()).
# Prostopadloscian_ograniczajacy jest zwracany w postaci listy. Pierwsze
# $d elementow to minimalne wspolrzedne, a ostatnie $d elementow to
# wspolrzedne maksymalne.

sub prostopadloscian_ograniczajacy {
    my ( $d, @bb ) = @_; # $d to liczba wymiarow.
    # Usuniecie punktow i pozostawienie prostopadloscianu ograniczajacego.
    my @p = splice( @bb, 0, @bb - 2 * $d );

    @bb = ( @p, @p ) unless @bb;

    # Przeszukanie wszystkich wspolrzednych i zapamietanie ekstremow.
    for ( my $i = 0; $i < $d; $i++ ) {
        for ( my $j = 0; $j < @p; $j += $d ) {
            my $ij = $i + $j;
            # Minima.
            $bb[ $i ] = $p[ $ij ] if $p[ $ij ] < $bb[ $i ];
            # Maksima.
            $bb[ $i + $d ] = $p[ $ij ] if $p[ $ij ] > $bb[ $i + $d ];
        }
    }

    return @bb;
}

# prostopadloscian_ograniczajacy_przeciecie($d, @a, @b)
# Procedura zwraca prawde, jesli podane prostopadlosciany @a i @b przecinaja
# sie w $d wymiarach. Podprocedura wykorzystana przez funkcje
# przeciecie_prostych().

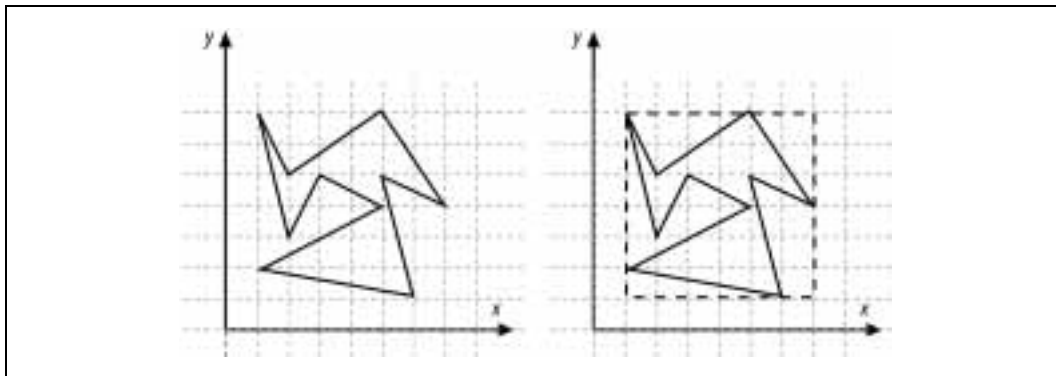
sub prostopadloscian_ograniczajacy_przeciecie {
    my ( $d, @bb ) = @_; # Liczba wymiarow i wspolrzedne prostopadloscianow.
    my @aa = splice( @bb, 0, 2 * $d ); # Pierwszy prostopadloscian.
    # (@bb to drugi prostopadloscian.)

    # Prostopadlosciany musza przecinac sie we wszystkich wymiarach.
    for ( my $i_min = 0; $i_min < $d; $i_min++ ) {
        my $i_max = $i_min + $d; # Indeks dla maksimum.
        return 0 if ( $aa[ $i_max ] + epsilon ) < $bb[ $i_min ];
        return 0 if ( $bb[ $i_max ] + epsilon ) < $aa[ $i_min ];
    }

    return 1;
}

```

Wykorzystajmy powyższą procedurę do odnalezienia prostopadłościanu ograniczającego wielokąt z rysunku 10.17. Do procedury `prostopadloscian_ograniczajacy_punkty()` przekazywanych jest 21 argumentów: wymiar 2 oraz 10 par współrzędnych opisujących kolejne wierzchołki figury z rysunku:



Rysunek 10.17. Wielokąt i jego prostopadłościan ograniczający

```
@bb = prostopadloscian_ograniczajacy_punkty(2,
                                             1, 2, 5, 4, 3, 5, 2, 3, 1, 7,
                                             2, 5, 5, 7, 7, 4, 5, 5, 6, 1), "\n";
print "@bb\n";
```

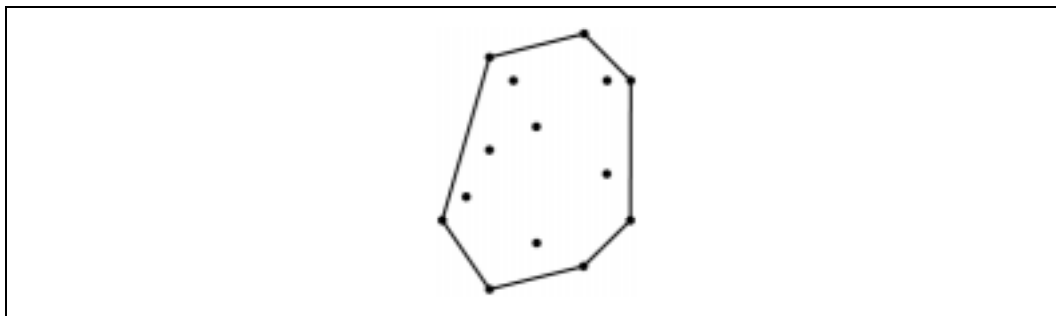
Wynikiem jest lewy dolny (1, 1) i prawy górny (7, 7) wierzchołek kwadratu:

```
1 1 7 7
```

Powłoka wypukła

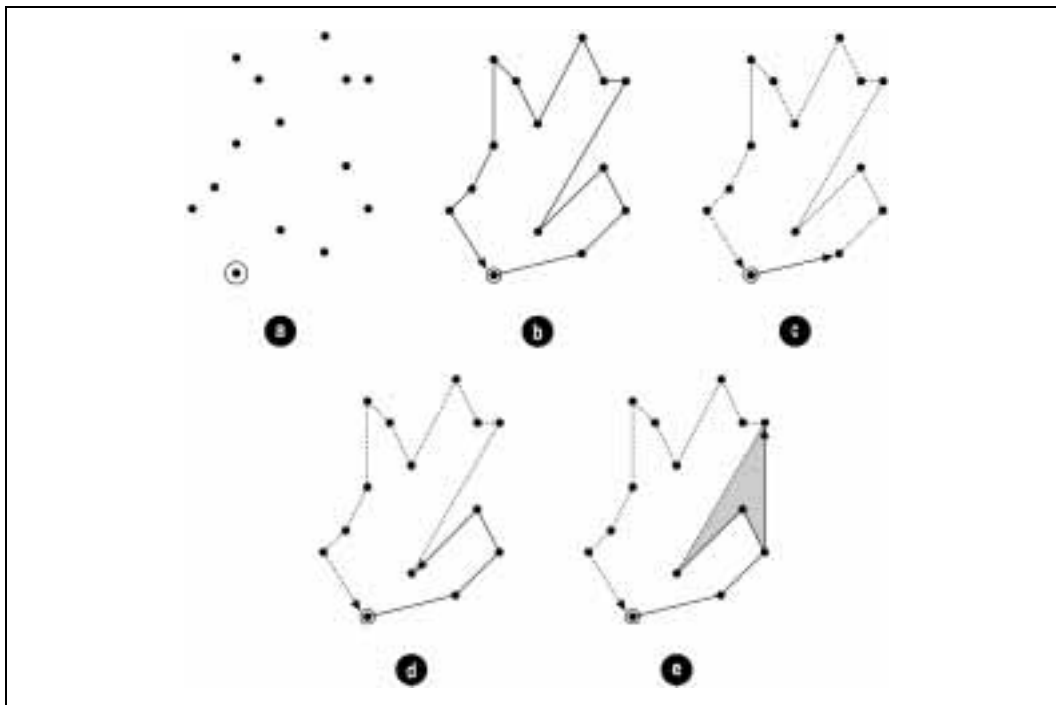
Powłoka wypukła przypomina prostopadłościan ograniczający, ale lepiej otacza wybraną figurę geometryczną, ponieważ nie musi być prostopadłościanem. Powłoka wypukła jest „rozciągana” wokół punktów zewnętrznych obiektu. Aby to sobie wyobrazić, przypomnij sobie artystę nazwiskiem Christo, który owija folią słynne budowle. Folia tworzy właśnie powłokę wypukłą.

Powłoka wypukła w dwóch wymiarach to zbiór krawędzi tworzących wielokąt wypukły, natomiast w trzech wymiarach jest to wielościan wypukły, którego ściany mają trójkątny kształt. Dwuwymiarową powłokę wypukłą przedstawiono na rysunku 10.18.



Rysunek 10.18. Powłoka wypukła dla zbioru punktów

Najbardziej znany algorytm do tworzenia powłoki wypukłej w dwóch wymiarach nosi nazwę *algorytmu Grahama*. Najpierw należy wyszukać jeden punkt, który na pewno stanowi część powłoki. Zwykle jest to punkt o najmniejszej współrzędnej x lub y , co pokazano na rysunku 10.19(a).



Rysunek 10.19. Algorytm Grahama — wyszukiwanie punktu początkowego

Wszystkie pozostałe punkty są następnie sortowane w zależności od kąta tworzonego w stosunku do punktu startowego, co pokazano na rysunku 10.19(b). Dzięki użytej metodzie wyboru punktu startowego miary wszystkich kątów zawierają się w przedziale od 0 do π .

Tworzenie powłoki rozpoczyna się od punktu startowego, po czym następuje przejście do pierwszego z posortowanych punktów. Pewien problem może powstać, jeśli kolejny punkt znajduje się bezpośrednio na linii prostej. Wymaga to użycia bardziej zaawansowanego sortowania; jeśli kąty są równe, to należy posortować punkty według współrzędnych x i y .

Jeśli w czasie przechodzenia do kolejnego punktu należy skrócić w lewo, to ten punkt zostaje dodany do powłoki.

W przypadku skrętu w prawo ostatni dodany punkt nie może stanowić części powłoki i musi być usunięty. Oznacza to często również konieczność usunięcia poprzednich punktów aż do momentu, w którym znowu możliwy będzie skręt w lewo. Ciągłe zwiększanie i zmniejszanie wielkości powłoki sugeruje zastosowanie stosu opisanego w rozdziale 2. poświęconym strukturom danych.

Jak łatwo zauważyć, reguła zakazująca skrętu w prawo pozwala na pominięcie wszystkich wklęsłości (zacieniony obszar na rysunku 10.19). Cały proces wyszukiwania punktów jest powtarzany aż do momentu powrotu do punktu startowego. Poniższa procedura `powloka_wypukla_graham()` stanowi implementację algorytmu Grahama:

```
# powloka_wypukla_graham( @xy )
# Procedura oblicza powloke wypukla dla punktow @xy z uzyciem
# algorytmu Grahama. Procedura zwraca kolejne punkty powloki w postaci.
# listy ($x,$y,...).

sub powloka_wypukla_graham {
  my ( @xy ) = @_;

  my $n = @xy / 2;
  my @i = map { 2 * $_ } 0 .. ( $#xy / 2 ); # Parzyste indeksy.
  my @x = map { $xy[ $_ ] } @i;
  my @y = map { $xy[ $_ + 1 ] } @i;

  # Najpierw nalezy odnalezc najmniejsza wartosc y z najmniejsza wartoscia x.

  # $ymin to najmniejsza wartosc y w danym momencie, @xmini zawiera indeksy
  # najmniejszych wartosci y, $xmini to indeks najmniejszej wartosci x,
  # a $xmin to najmniejsza wartosc x.
  my ( $ymin, $xmini, $xmin, $i );

  for ( $ymin = $ymax = $y[ 0 ], $i = 1; $i < $n; $i++ ) {
    if ( $y[ $i ] + epsilon < $ymin ) {
      $ymin = $y[ $i ];
      @xmini = ( $i );
    } elsif ( abs( $y[ $i ] - $ymin ) < epsilon ) {
      $xmini = $i # Zapamietanie indeksu najmniejszej wartosci x.
      if not defined $xmini or $x[ $i ] < $xmini;
    }
  }

  $xmin = $x[ $xmini ];
  splice @x, $xmini, 1; # Usuniecie punktu minimum.
  splice @y, $xmini, 1;

  my @a = map { # Posortowanie punktow zgodnie z wartosciami katow.
    atan2( $y[ $_ ] - $ymin,
           $x[ $_ ] - $xmin )
    } 0 .. $#x;

  # Rzadki przypadek transformacji Schwartza, ktora daje w wyniku posortowane
  # indeksy. Pozwala to na wielokrotne sortowanie, czyli uzycie permutacji.

  my @j = map { $_->[ 0 ] }
    sort { # Posortowanie wedlug katow, wartosci x i wartosci y.
      return $a->[ 1 ] <=> $b->[ 1 ] ||
             $x[ $a->[ 0 ] ] <=> $x[ $b->[ 0 ] ] ||
             $y[ $a->[ 0 ] ] <=> $y[ $b->[ 0 ] ];
    }
    map { [ $_, $a[ $_ ] ] } 0 .. $#a;

  @x = @x[ @j ]; # Permutacja.
  @y = @y[ @j ];
  @a = @a[ @j ];

  unshift @x, $xmin; # Przywrocenie punktu minimum.
  unshift @y, $ymin;
  unshift @a, 0;
}
```

```

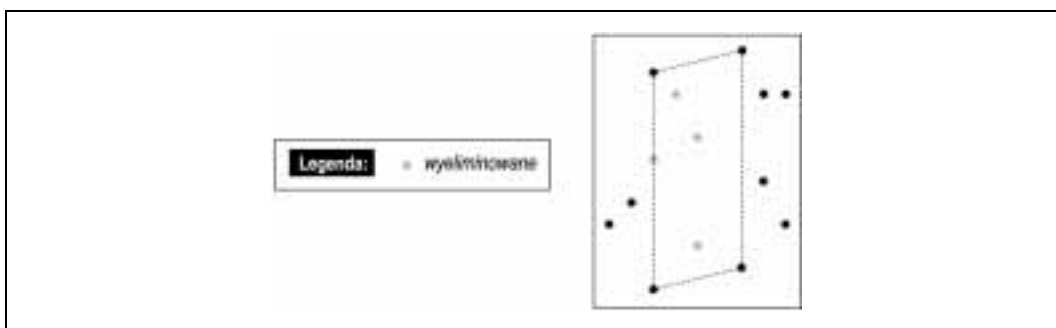
my @h = ( 0, 1 );          # Powloka.
my $cw;

# Cofnięcie: zmniejszenie powloki, jeśli należy skrecić w prawo lub jeśli
# nie ma możliwości skretu.
for ( $i = 2; $i < $n; $i++ ) {
    while (
        kierunek( $x[ $h[ $#h - 1 ] ],
                  $y[ $h[ $#h - 1 ] ],
                  $x[ $h[ $#h ] ],
                  $y[ $h[ $#h ] ],
                  $x[ $i ],
                  $y[ $i ] ) > epsilon
        and @h >= 2 ) { # Te 2 punkty zawsze będą stanowiły część powloki.
        pop @h;
    }
    push @h, $i; # Zwiększenie powloki.
}

# Przeniesienie wartości x i y powloki z powrotem na listę, a następnie powrot.
return map { ( $x[ $_ ], $y[ $_ ] ) } @h;
}

```

Algorytm Grahama można przyspieszyć poprzez zredukowanie liczby badanych punktów. Jednym ze sposobów dokonania tego jest *eliminacja wnętrza* — odrzucane są wszystkie punkty, które absolutnie *nie* mogą stanowić części powłoki. Eliminacja punktów jest zależna od ich rozkładu; jeśli rozkład jest typu losowego lub punkty rozciągają się w dwóch kierunkach, to bardzo pomocne będzie zastosowanie prostokąta rozciągającego się między punktami znajdującymi się najbliżej rogów. Wszystkie punkty znajdujące się wewnątrz tego prostokąta można bezpiecznie usunąć, co pokazano na rysunku 10.20.



Rysunek 10.20. Algorytm Grahama — eliminacja wewnętrznych punktów

Punkty znajdujące się najbliżej rogów można odnaleźć poprzez minimalizację i maksymalizację sum i różnic punktów:

- najmniejsza suma — lewy dolny róg,
- największa suma — prawy górny róg,
- najmniejsza różnica — lewy górny róg,
- największa różnica — prawy dolny róg.

Oto implementacja tej metody w Perlu:

```
# Wyszukanie największych i najmniejszych sum oraz różnic
# (a raczej indeksów tych punktów).

my @sortowanie_wedlug_sumy =
    map { $_->[ 0 ] }
        sort { $a->[ 1 ] <=> $b->[ 1 ] }
            map { [ $_, $x[ $_ ] + $y[ $_ ] ] } 0..$#x;

my @sortowanie_wedlug_roznicy =
    map { $_->[ 0 ] }
        sort { $a->[ 1 ] <=> $b->[ 1 ] }
            map { [ $_, $x[ $_ ] - $y[ $_ ] ] } 0..$#x;

my $ld = @sortowanie_wedlug_sumy [ 0 ]; # Lewy dolny róg prostokąta do
# usuwania punktów.
my $pg = @sortowanie_wedlug_sumy [-1 ]; # Prawy górny róg.
my $lg = @sortowanie_wedlug_roznicy [ 0 ]; # Lewy górny róg.
my $pd = @sortowanie_wedlug_roznicy [-1 ]; # Prawy dolny róg.
```

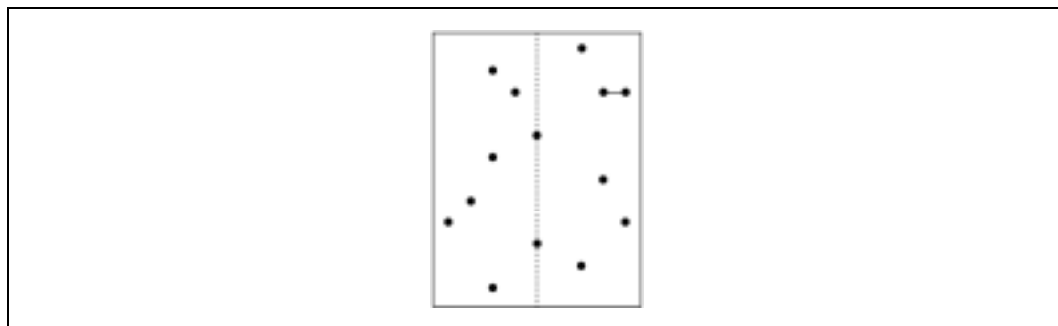
Stosując tę metodę, należy pamiętać o pewnych ograniczeniach. Bezpiecznie można wyeliminować *tylko* te punkty, które znajdują się wewnątrz prostokąta. Punkty znajdujące się na bokach prostokąta mogą stanowić część powłoki, natomiast punkty w rogach z całą pewnością są jej częścią. Na wszelki wypadek można utworzyć drugi prostokąt, który będzie minimalnie mniejszy od pierwszego (*epsilon*). Jeśli wartość epsilon zostanie wybrana prawidłowo, to punkty wewnątrz mniejszego prostokąta będzie można usunąć bez obaw.

Procedura oparta na algorytmie Grahama działa w czasie $O(M \log M)$, co jest optymalnym wynikiem.

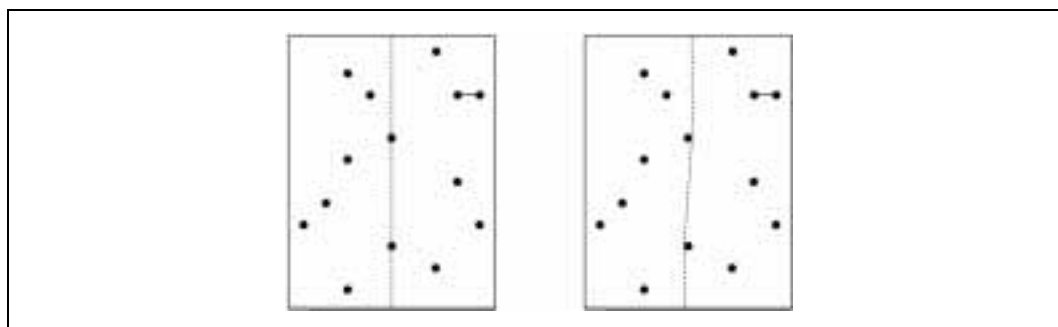
Najbliższa para punktów

W jaki sposób można wybrać dwa punkty, które leżą najbliżej siebie? Narzuca się tu oczywiste rozwiązanie polegające na obliczeniu odległości dla każdej możliwej pary punktów. Choć ta metoda zadziała poprawnie, to jej czas pracy wynosi aż $O(N^2)$. Wyszukiwanie najbliższych punktów ma wiele rzeczywistych zastosowań; przykładem może być oprogramowanie do symulacji ruchu lotniczego – dwa odrzutowce nie powinny znaleźć się w tym samym miejscu. Prostopadłościanny ograniczający mogą być wykorzystane do wykrycia kolizji, natomiast sprawdzanie najbliższych punktów uniemożliwi katastrofę. Do przedstawienia tego problemu użyjemy zbioru punktów z rysunku 10.21.

W jaki sposób można odnaleźć najbliższą parę punktów? Przydatna tu będzie pewna wewnętrzna właściwość punktów, która mówi, że punkt znajdujący się po lewej stronie będzie prawdopodobnie bliższy innym punktom po tej samej stronie, niż punktom po stronie przeciwnej. Po raz kolejny skorzystamy tu z paradygmatu „dziel i rządź”, który został przedstawiony w podrozdziale poświęconym rekurencji. Grupa punktów zostanie podzielona na lewą i prawą połowę, co pokazano na rysunku 10.22.



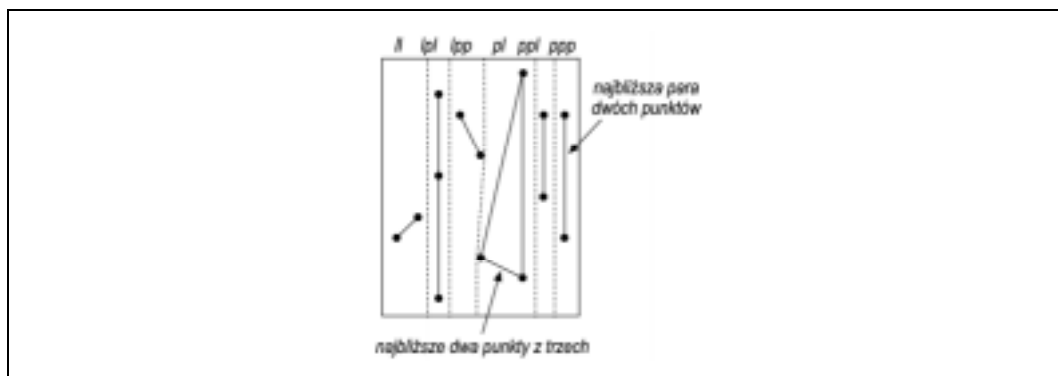
Rysunek 10.21. Grupa punktów i najbliższa para



Rysunek 10.22. Rekurencyjne dzielenie na pół — widok fizyczny i logiczny

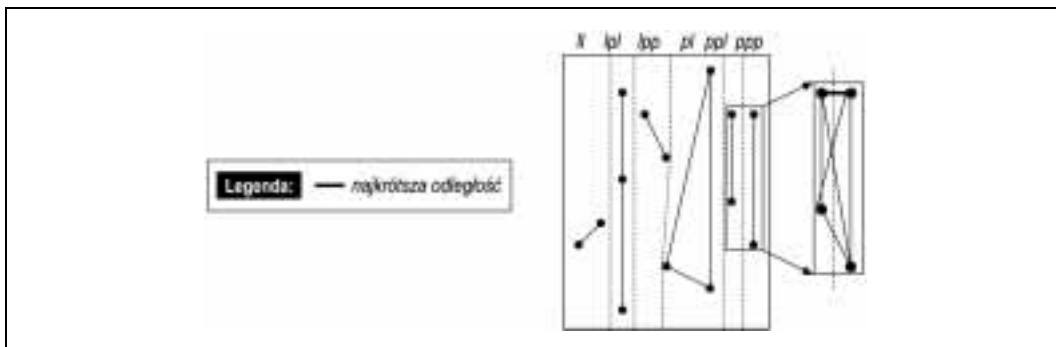
Dlaczego linia podziału logicznego na rysunku 10.22 jest zakrzywiona? Dzieje się tak, gdyż linia podziału zawiera dwa punkty mające dokładnie taką samą współrzędną x . Dokonano więc drobnych zmian, aby lepiej rozdzielić obie połowki.

Na rysunku 10.23 przedstawiono pionowe wycinki utworzone przez rekurencyjny podział zbioru. Poszczególne wycinki są odpowiednio oznakowane, na przykład lpp oznacza wycinek powstały poprzez podział w lewo, po którym nastąpiły dwa podziały w prawo.



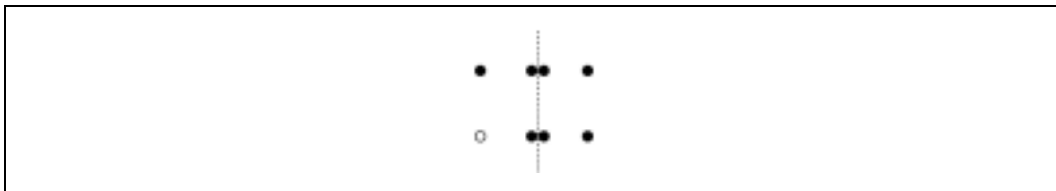
Rysunek 10.23. Pionowe wycinki i najbliższe pary punktów w poszczególnych wycinkach

Rekurencja zostaje przerwana, kiedy wycinek zawiera tylko dwa lub trzy punkty. W takim przypadku najkrótsza odległość (czyli najbliższa para punktów) może być odnaleziona w bardzo prosty sposób, co pokazano na rysunku 10.24.



Rysunek 10.24. Łączenie wycinków podzielonych rekurencyjnie

Jaką operację należy wykonać powracając z rekurencji? W każdym wycinku odnaleziono najbliższą parę punktów, ale nie można po prostu wybrać najkrótszej odległości dla wszystkich wycinków, gdyż najbliższa para punktów z całego zbioru może znaleźć się po dwóch stronach linii podziału. Tę sytuację pokazano na rysunku 10.25.



Rysunek 10.25. Przeszukiwanie w czasie łączenia; aktualny punkt oznaczono białym kolorem

Sztuka polega na tym, aby w przylegających połówkach wyszukać punkty, których odległość od linii podziału jest mniejsza, niż najmniejsza odnaleziona dotąd odległość. Po wykonaniu tych operacji dla każdej linii podziału należy zbadać wszystkie uzyskane punkty w kolejności zależnej od współrzędnej y . Dla każdego punktu należy sprawdzić maksymalnie siedem innych punktów, co pokazano na rysunku 10.25.

Kod Perla implementujący opisaną powyżej metodę będzie dość skomplikowany, ponieważ konieczne jest jednoczesne sortowanie zbiorów punktów według wielu kryteriów. Punkty są przechowywane w oryginalnej kolejności oraz posortowane poziomo (w ten sposób zbiór punktów jest dzielony horyzontalnie) i pionowo. Wszystkie te widoki tego samego zbioru punktów są zaimplementowane poprzez obliczenie różnych *wektorów permutacji* jako tablic Perla, na przykład tablica `@yoi` zawiera kolejne punkty posortowane od dołu do góry zgodnie ze współrzędnymi y .

Zwróć uwagę na to, że zastosowanie podstawowej techniki „dziel i rządź” sprawia, że czas pracy algorytmu będzie dość długi — $O(N \log M)$, aczkolwiek rekurencja wymaga

tylko $O(M)$ operacji. Ciągłe sortowanie danych wewnątrz kodu rekurencyjnego mogłoby znacznie wpłynąć na ocenę $O(\log M)$, przez co sortowanie poziome i pionowe jest wykonywane tylko raz, przed rozpoczęciem rekurencji.

Oto przerażająco długa podprocedura `najblizsze_punkty()`:

```
sub najblizsze_punkty (
  my ( @p ) = @_ ;

  return () unless @p and @p % 2 == 0 ;

  my $nieposortowane_x = [ map { $p[ 2 * $_ ] } 0..$#p/2 ] ;
  my $nieposortowane_y = [ map { $p[ 2 * $_ + 1 ] } 0..$#p/2 ] ;

  # Oblicza permutacje i indeksy porzadkowe.

  # Indeks permutacji wspolrzednej x.
  #
  # Jesli tablica @nieposortowane_x to (18, 7, 25, 11), to tablica @xpi
  # bedzie zawierala (1, 3, 0, 2), np. $xpi[0] == 1 oznacza, ze
  # $posortowane_x[0] znajduje sie w $nieposortowane_x->[1].
  #
  # Ta operacja jest wykonywana, aby umozliwic sortowanie @nieposortowane_x
  # do @posortowane_x z zachowaniem mozliwosci przywrocenia oryginalnej
  # kolejnosci w postaci @posortowane_x[@xpi].
  # Jest to niezbedne ze wzgledu na koniecznosc sortowania punktow wedlug
  # wspolrzednych x i y oraz identyfikacji wyniku na podstawie oryginalnych
  # indeksow punktow: "12 punkt i 45 punkt to najblizsza para ".

  my @xpi = sort { $nieposortowane_x->[ $a ] <=> $nieposortowane_x->[ $b ] }
    0..$#nieposortowane_x ;

  # Indeks permutacji wspolrzednych y.
  #
  my @ypi = sort { $nieposortowane_y->[ $a ] <=> $nieposortowane_y->[ $b ] }
    0..$#nieposortowane_y ;

  # Indeks porzadkowy wspolrzednych y.
  #
  # Indeks porzadkowy to odwrotnosc indeksu permutacji. Jesli tablica
  # @nieposortowane_y to (16, 3, 42, 10) a @ypi to (1, 3, 0, 2), to tablica
  # @yoi bedzie miala postac (2, 0, 3, 1), na przyklad $yoi[0] == 1 oznacza,
  # ze $nieposortowane_y->[0] to $posortowane_y[1].

  my @yoi ;
  @yoi[ @ypi ] = 0..$#ypi ;

  # Rekurencja w celu odnalezienia najblizszych punktow.
  my ( $p, $q, $d ) = _najblizsze_punkty_rekurencja( [
    @nieposortowane_x[@xpi] ],
    [
      @nieposortowane_y[@xpi] ],
    \@xpi, \@yoi, 0, $#xpi
  ) ;

  my $pi = $xpi[ $p ] ;
  my $qi = $xpi[ $q ] ;
  # Odwrotna permutacja.

  ( $pi, $qi ) = ( $qi, $pi ) if $pi > $qi ;
  # Najpierw mniejszy
  # identyfikator.

  return ( $pi, $qi, $d ) ;
}
```

```

sub _najblizsze_punkty_rekurencja (
  my ( $x, $y, $xpi, $yoi, $x_l, $x_p ) = @_;

  # $x, $y: odwołania tablicowe do współrzędnych x i y punktów
  # $xpi:     indeksy permutacji x: obliczone przez
  # najblizsze_punkty_rekurencja()
  # $yoi:     indeksy kolejności y: obliczone przez
  # najblizsze_punkty_rekurencja()
  # $x_l:     lewa granica aktualnie sprawdzanego zbioru punktów
  # $x_p:     prawa granica aktualnie sprawdzanego zbioru punktów
  #          Oznacza to, iż sprawdzane będą tylko punkty $x->[$x_l..$x_p]
  #          i $y->[$x_l..$x_p].

  my $d;      # Odnaleziona najbliższa odległość.
  my $p;      # Indeks drugiego końca minimalnej odległości.
  my $q;      # Jak wyżej.

  my $N = $x_p - $x_l + 1;      # Liczba interesujących punktów.

  if ( $N > 3 ) {                # Duża liczba punktów. Rekurencja!
    my $x_lp = int( ( $x_l + $x_p ) / 2 ); # Prawa granica lewej połowki.
    my $x_pl = $x_lp + 1;           # Lewa granica prawej połowki.

    # Najpierw rekurencja w celu zbadania połówek.

    my ( $p1, $q1, $d1 ) =
      _najblizsze_punkty_rekurencja( $x, $y, $xpi, $yoi, $x_l, $x_lp );
    my ( $p2, $q2, $d2 ) =
      _najblizsze_punkty_rekurencja( $x, $y, $xpi, $yoi, $x_pl, $x_p );

    # Teraz połączenie wyników obu połówek.

    # Ustawienie $d, $p, $q na najkrótszą odległość oraz indeksy
    # odnalezioną najbliższą parę punktów.

    if ( $d1 < $d2 ) { $d = $d1; $p = $p1; $q = $q1 }
    else { $d = $d2; $p = $p2; $q = $q2 }

    # Sprawdzenie obszaru łączenia.

    # Współrzędna x między lewą i prawą połówką.
    my $x_d = ( $x->[ $x_lp ] + $x->[ $x_pl ] ) / 2;

    # Indeksy potencjalnych punktów: te pary punktów znajdują się po obu
    # stronach linii podziału i mogą znajdować się bliżej siebie, niż
    # dotychczasowa najlepsza para punktów.
    #
    my @xi;

    # Odnalezienie potencjalnych punktów z lewej połowki.

    # Lewa granica lewego segmentu z potencjalnymi punktami.
    my $x_ll;

    if ( $x_lp == $x_l ) { $x_ll = $x_l }
    else {
      # Przeszukiwanie binarne.
      my $x_ll_lo = $x_l;
      my $x_ll_hi = $x_lp;
      do { $x_ll = int( ( $x_ll_lo + $x_ll_hi ) / 2 );
        if ( $x_d - $x->[ $x_ll ] > $d ) {
          $x_ll_lo = $x_ll + 1;
        } elsif ( $x_d - $x->[ $x_ll ] < $d ) {
          $x_ll_hi = $x_ll - 1;
        }
      }
    }
  }
}

```

```

    } until $x_ll_lo > $x_ll_hi
      or ( $x_d - $x->[ $x_ll ] < $d
          and ( $x_ll == 0 or
              $x_d - $x->[ $x_ll - 1 ] > $d ) );
  }
  push @xi, $x_ll..$x_lp;

# Odnalezienie potencjalnych punktów z prawej połowki.

# Prawa granica prawego segmentu z potencjalnymi punktami.
my $x_pp;

if ( $x_pl == $x_p ) { $x_pp = $x_p }
else {
    # Przeszukiwanie binarne.
    my $x_pp_lo = $x_pl;
    my $x_pp_hi = $x_p;
    do { $x_pp = int( ( $x_pp_lo + $x_pp_hi ) / 2 );
        if ( $x->[ $x_pp ] - $x_d > $d ) {
            $x_pp_hi = $x_pp - 1;
        } elsif ( $x->[ $x_pp ] - $x_d < $d ) {
            $x_pp_lo = $x_pp + 1;
        }
    } until $x_pp_hi < $x_pp_lo
      or ( $x->[ $x_pp ] - $x_d < $d
          and ( $x_pp == $x_p or
              $x->[ $x_pp + 1 ] - $x_d > $d ) );
  }
  push @xi, $x_pl..$x_pp;

# Uzyskano już listę potencjalnych punktów. Czy spełnia one nasze
# warunki?
# Sprawdzanie jest dość skomplikowane.

# Najpierw posortowanie punktów według oryginalnych indeksów.
my @x_by_y = @$yoi[ @$xpi[ @xi ] ];
my @i_x_by_y = sort { $x_by_y[ $a ] <=> $x_by_y[ $b ] }
    0..$#x_by_y;
my @xi_by_yi;
@xi_by_yi[ 0..$#xi ] = @xi[ @i_x_by_y ];

my @xi_by_y = @$yoi[ @$xpi[ @xi_by_yi ] ];
my @x_by_yi = @$x[ @xi_by_yi ];
my @y_by_yi = @$y[ @xi_by_yi ];

# Zbadanie każdej potencjalnej pary punktów (pierwszy punkt
# z lewej połowki, drugi punkt z prawej połowki).

for ( my $i = 0; $i <= $#xi_by_yi; $i++ ) {
    my $i_i = $xi_by_yi[ $i ];
    my $x_i = $x_by_yi[ $i ];
    my $y_i = $y_by_yi[ $i ];
    for ( my $j = $i + 1; $j <= $#xi_by_yi; $j++ ) {
        # Pominięcie punktów, dla których odległość nie może być
        # mniejsza, niż dla dotychczasowej najlepszej pary.
        last if $xi_by_yi[ $j ] - $i_i > 7; # Zbyt daleko?
        my $y_j = $y_by_yi[ $j ];
        my $dy = $y_j - $y_i;
        last if $dy > $d; # Zbyt wysoko?
        my $x_j = $x_by_yi[ $j ];
        my $dx = $x_j - $x_i;
        next if abs( $dx ) > $d; # Zbyt szeroko?
    }
}

```



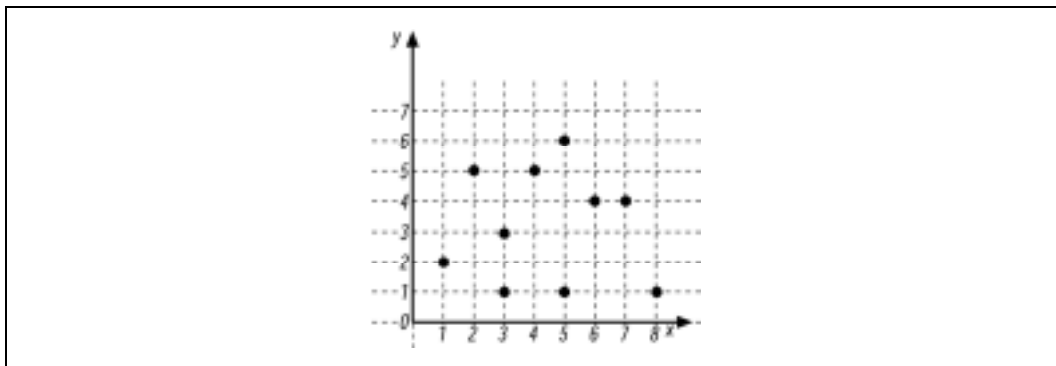
```

# Program dotarł aż tutaj? Być może odnaleziono zwycięzce.
# Należy sprawdzić odległość i zaktualizować zmienne.
my $d3 = sqrt ( $dx**2 + $dy**2 );
if ( $d3 < $d ) {
    $d = $d3;
    $p = $xi_by_yi[ $i ];
    $q = $xi_by_yi[ $j ];
}
}
}
} elsif ( $N == 3 ) {          # Tylko trzy punkty? Rekurencja nie jest
                                # potrzebna.
    my $x_m = $x_l + 1;
    # Porównanie kwadratów sum. Pierwiastkowanie zostanie wykonane później.
    my $s1 = ($x->[ $x_l ]-$x->[ $x_m ])**2 +
              ($y->[ $x_l ]-$y->[ $x_m ])**2;
    my $s2 = ($x->[ $x_l ]-$x->[ $x_p ])**2 +
              ($y->[ $x_l ]-$y->[ $x_p ])**2;
    my $s3 = ($x->[ $x_m ]-$x->[ $x_p ])**2 +
              ($y->[ $x_m ]-$y->[ $x_p ])**2;
    if ( $s1 < $s2 ) {
        if ( $s1 < $s3 ) { $d = $s1; $p = $x_l; $q = $x_m }
        else             { $d = $s3; $p = $x_l; $q = $x_p }
    } elsif ( $s2 < $s3 ) { $d = $s2; $p = $x_m; $q = $x_p }
    else                 { $d = $s3; $p = $x_l; $q = $x_p }

    $d = sqrt $d;
} elsif ( $N == 2 ) {          # Tylko dwa punkty? Rekurencja nie jest
                                # potrzebna.
    $d = sqrt (($x->[ $x_l ]-$x->[ $x_p ])**2 +
               ($y->[ $x_l ]-$y->[ $x_p ])**2);
    $p = $x_l;
    $q = $x_p;
} else {                       # Mniej niż dwa punkty? Dziwne.
    return ( );
}
return ( $p, $q, $d );
}

```

Czas pracy procedury `najblizsze_punkty()` wynosi $O(M \log M)$, co jest dobrą wiadomością. Przetestujmy działanie programu wykorzystując do tego punkty z rysunku 10.26.



Rysunek 10.26. Wyszukiwanie najbliższej pary

Wybranie najbliższej pary punktów ze zbioru punktów przedstawionych na rysunku 10.26 może być wykonane w następujący sposób:

```
@para_punktow = najblizsze_punkty( 1, 2, 2, 5, 3, 1, 3, 3, 4, 5,  
                                  5, 1, 5, 6, 6, 4, 7, 4, 8, 1 ), "\n";  
print "@para_punktow \n";
```

Uzyskany wynik to:

```
7 8 1
```

Udało się nam stwierdzić, że ósmy (6, 4) i dziewiąty (7, 4) punkt stanowią najbliższą parę punktów (tablice Perla są indeksowane od 0), a odległość między nimi wynosi 1.

Algorytmy geometryczne — podsumowanie

Algorytmy geometryczne są często oparte na znanych wzorach, ale w czasie ich implementacji należy zachować ostrożność. Przekształcanie wzorów geometrycznych do postaci programów komputerowych nie zawsze jest takie proste, jak to może się wydawać. Głównym źródłem problemów jest konflikt między idealnymi wartościami matematycznymi i niedokładnymi reprezentacjami liczb rzeczywistych w komputerach. Choć z teoretycznego punktu widzenia wydaje się, że dany punkt leży na przecięciu prostych $x - 1$ i $1 - 2x$, to komputer może uważać inaczej. Również koło o promieniu 1 nie zawiera dokładnie π pikseli.

Moduły graficzne CPAN

Przedstawione w tym rozdziale algorytmy tak naprawdę nie wyświetliły na ekranie ani jednego piksela. Aby tak się jednak stało, należy wykorzystać jeden z pakietów graficznych dostępnych pod adresem <http://www.perl.com/CPAN/modules>. Większość tych modułów stanowi interfejsy do zewnętrznych bibliotek, które również powinny być zainstalowane w systemie. Więcej informacji na ten temat można znaleźć w dokumentacji poszczególnych modułów.

Grafika dwuwymiarowa

W bibliotece CPAN dostępnych jest pięć modułów służących do manipulacji obrazami dwuwymiarowymi: Perl-Gimp, GD, Image::Size, PerlMagick i PGPLOT.

Perl-Gimp

Gimp to potężne narzędzie dla systemu Linux, przypominające trochę Adobe Photoshopa; więcej informacji znajduje się na stronie <http://www.gimp.org>. Napisany przez Marca Lehmana Perl-Gimp to interfejs API, który pozwala na uzyskanie zaawansowanych efektów graficznych bezpośrednio w Perlu.

GD

Utworzony przez Lincolna D. Steina moduł GD stanowi interfejs do biblioteki *libgd*, która umożliwia „rysowanie” obrazów GIF. Poniższy kod tworzy obraz GIF zawierający okrąg.

```
use GD;

# Utworzenie rysunku.
my $gif = new GD::Image(100, 100);

# Alokacja kolorow.
my $bialy = $gif->colorAllocate(255, 255, 255);
my $czerwony = $gif->colorAllocate(255, 0, 0);

# Kolor tła.
$gif->transparent($bialy);

# Okrag.
$gif->arc(50, 50,          # Srodek x, y.
        30, 30,          # Szerokosc, wysokosc.
        0, 360,         # Poczatkowy i koncowy kat.
        $czerwony)     # Kolor.

# Zapisanie rysunku.
open(GIF, ">okrag.gif") or die "otwarcie pliku nie powiodlo sie: $!\n";
binmode GIF;
print GIF $gif->gif;
close GIF;
```

Image::Size

Randy J. Ray napisał specjalny moduł o nazwie *Image::Size*, który podgląda pliki graficzne i pobiera informacje o ich wielkości i rozmiarach. Może się wydawać, że to mało przydatne dane, ale są one bardzo często wykorzystywane. Kiedy serwer internetowy przesyła stronę WWW, informacja o wielkości rysunków powinna być przekazana jak najszybciej (przed przesłaniem samych plików), dzięki czemu przeglądarka internetowa natychmiast przygotowuje miejsce dla tych rysunków. Pozwoli to na znacznie szybsze renderowanie strony, ponieważ układ strony nie zmieni się gwałtownie po odebraniu wszystkich obrazków.

PerlMagick

Moduł *PerlMagick*, autorstwa Kyle’a Shortera, stanowi interfejs do *ImageMagick* — bardzo rozbudowanej biblioteki do konwersji i obróbki obrazów. Dzięki temu modułowi możliwa jest konwersja plików graficznych między różnymi formatami, a także stosowanie różnego rodzaju filtrów — od zmiany nasycenia barw do efektów specjalnych. Więcej informacji znajduje się pod adresem <http://www.perldoc.com/cpan/Image/Magick.html>.

PGPLOT

Napisany przez Karla Glazebrooka moduł *PGPLOT* jest interfejsem do biblioteki graficznej *PGPLOT*, która może być wykorzystana na przykład do rysowania obrazów z etykietami. *PGPLOT* w połączeniu z językiem numerycznym *PDL* (kolejny moduł Perla; jego

krótki opis znajdziesz w rozdziale 7.) staje się bardzo potężnym narzędziem, ponieważ wszystkie funkcje Perla stają się dostępne w PDL. Więcej informacji można uzyskać pod adresem <http://www.nst.cam.ac.uk/AAO/local/www/kgb/pgperl/>.

Wykresy i grafika biznesowa

Jeśli przez słowo „grafika” rozumiesz „grafikę biznesową” (różnego rodzaju wykresy kołowe i słupkowe), to warto zapoznać się z modułami Chart i GIFgraph autorstwa Davida Bonnera i Martiena Verbruggena. Oba moduły można wykorzystać na przykład do szybkiego tworzenia raportów. Wymagana jest obecność modułu GD.

Modelowanie trójwymiarowe

Jeszcze kilka lat temu rzeczywiste modelowanie trójwymiarowe nie było możliwe na komputerach, na które każdy może sobie pozwolić. Do tego typu zadań można wykorzystać trzy moduły CPAN o nazwach OpenGL, Renderman i VRML.

OpenGL

Stan Melax napisał moduł OpenGL, który implementuje interfejs OpenGL w Perlu. OpenGL to otwarta wersja języka GL firmy Silicon Graphics; jest to język modelowania trójwymiarowego, który pozwala na stworzenie kompletnych „światów” ze złożonymi obiektami i oświetleniem. Popularna gra Quake została wyrenderowana właśnie poprzez OpenGL. Dostępna jest także darmowa implementacja OpenGL o nazwie Mesa; więcej informacji znajduje się pod adresem <http://www.mesa3d.org>.

Renderman

Moduł Renderman, autorstwa Glenna M. Lewisa, to interfejs do fotorealistycznego systemu modelowania Renderman firmy Pixar. Teraz każdy może rozpocząć samodzielne tworzenie filmu „Toy Story” w Perlu.

VRML

Hartmut Palm zaimplementował interfejs Perla dla języka Virtual Reality Markup Language (VRML), który pozwala na tworzenie świata trójwymiarowego. Goście odwiedzający witrynę internetową z kodem VRML mogą spacerować po wirtualnym świecie (oczywiście jeśli mają odpowiednią wtyczkę).

Graficzny interfejs użytkownika

Do utworzenia własnej aplikacji graficznej, która będzie niezależna od Internetu, wymagane jest użycie jednego z opisanych tu pakietów. Perl/Tk to zdecydowanie najbardziej zaawansowany system oferujący największą liczbę funkcji.

Perl/Tk

Moduł Perl/Tk, autorstwa Nicka Ing-Simmons, to najlepsze narzędzie do tworzenia elementów graficznego interfejsu użytkownika w Perlu.⁴ Moduł działa w systemie X11 oraz w systemach Windows 95, 98, NT i 2000.

Praca w Perl/Tk jest bardzo prosta. Poniżej przedstawiono bardzo krótki program, który wyświetla przycisk.

```
use Tk;
$MW = MainWindow->new;
$witaj = $MW->Button(
    -text => 'Witaj swiecie',
    -command => sub { print STDOUT "Witaj swiecie!\n"; exit; },
);
$witaj->pack;
MainLoop;
```

Z przyciskiem powiązana jest określona akcja — po jego wciśnięciu w oknie terminala wyświetlany jest napis `Witaj swiecie!`. Tk pozwala na utworzenie rozbudowanego graficznego interfejsu użytkownika. Bardzo dobry opis Tk można znaleźć w książce „Learning Perl/Tk” Nancy Walsh (O’Reilly & Associates).

Inne narzędzia

Perl pozwala na użycie także innych narzędzi do obsługi graficznego interfejsu użytkownika. Te narzędzia działają jednak głównie w systemie X Window, który jest dostępny w środowiskach Unix. Poniżej przedstawiono kilka takich programów:

- Gnome (GNU Object Model Environment) autorstwa Kennetha Albanowskiego (<http://www.gnome.org>).
- Gtk — napisany przez Kennetha Albanowskiego przybornik, używany także w Gimpie.
- Sx (Simple Athena Widgets for X) autorstwa Frederica Chaveau.
- X11::Motif — napisany przez Kena Foa przybornik Motif.

⁴ Moduł Tk nie powinien być mylony z przybornikiem (ang. *toolkit*) Tk, który został utworzony przez Johna Ousterhosta, i który współpracuje z jego językiem programowania Tck. Przybornik Tk jest niezależny od stosowanego języka i dlatego może być wykorzystany na przykład w Perlu. Moduł Perl/Tk stanowi interfejs do tego przybornika.